

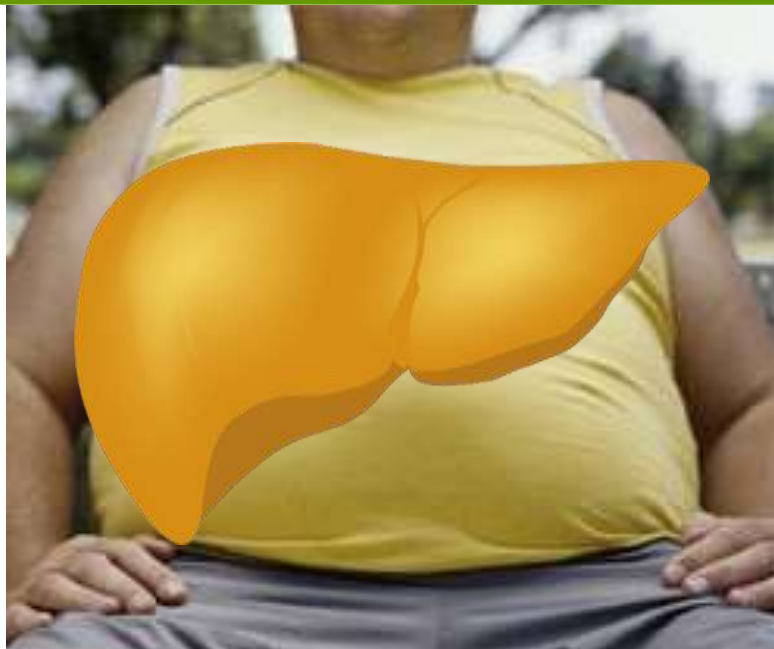
NASH – Mechanismen und mögliche Konsequenzen für die Praxis

Frank Tacke

Universitätsklinikum Aachen, Medizinische Klinik III

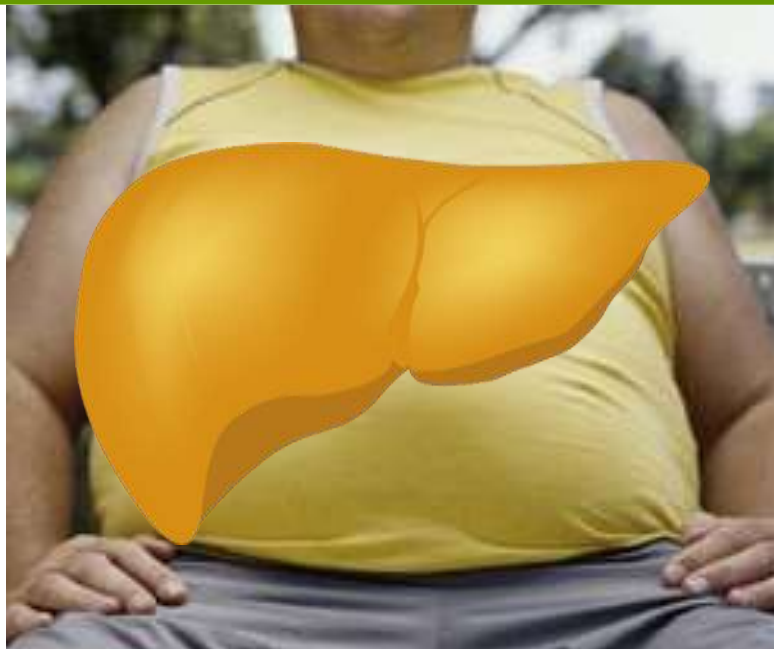
12.Jahrestagung GGHBB
Berlin, 26.01.18

Übergewicht und Fettleber: Die klinische Herausforderung



Verlegung aus KH Mönchengladbach
67j. Patient, Rentner, BMI ~38 kg/m²
ED Leberzirrhose, a.e. NASH
aktuell Dekompensation bei Aszites und
Peritonitis (*E.coli* Blutkultur)

Übergewicht und Fettleber: Die klinische Herausforderung



Verlegung aus KH Mönchengladbach
67j. Patient, Rentner, BMI ~38 kg/m²
ED Leberzirrhose, a.e. NASH
aktuell Dekompensation bei Aszites und
Peritonitis (*E.coli* Blutkultur)

Labor bei Aufnahme (29.3.17):

- INR 2,6
- Kreatinin 2,2 mg/dl (195 µmol/l)
- Bilirubin 11,5 mg/dl (197 µmol/l)

=> **MELD 34 (3-Mon-Letalität ~70%)**

Evaluation zur Lebertransplantation

Übergewicht und Fettleber: Die klinische Herausforderung



Verlegung aus KH Mönchengladbach
67j. Patient, Rentner, BMI ~38 kg/m²
ED Leberzirrhose, a.e. NASH
aktuell Dekompensation bei Aszites und
Peritonitis (*E.coli* Blutkultur)

- **keine schwere kardiale Erkrankung**
- **progredientes Multiorganversagen**
- **„nicht transplantabel“ (NT) bei pneumogener Sepsis (Aspiration)**

verstorben am 7.4.17

Übergewicht und Fettleber: Die epidemiologische Herausforderung

Gesamt-bevölkerung
(18-70 J.)

20-30% NAFLD
(D: >12 Mio)



3-5% NASH
(D: >750.000)



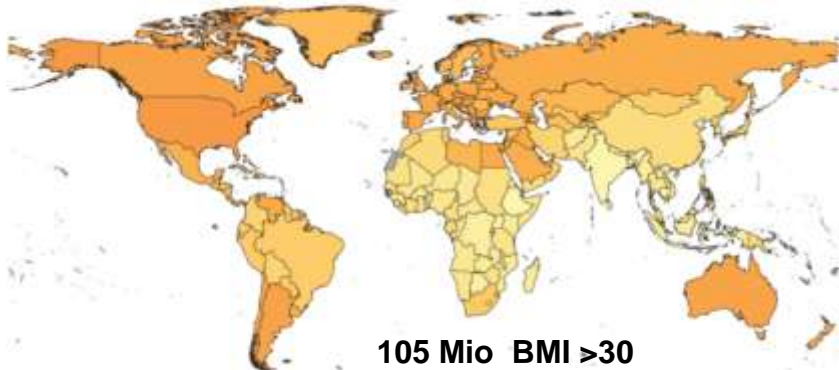
0,5%-1,5% Zirrhose
(D: ~120.000)

0,2%-0,5% HCC
(D: ~1370)

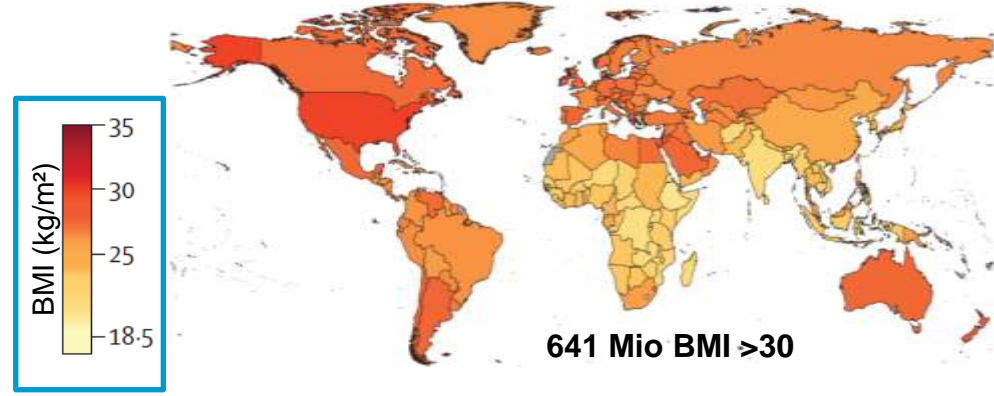


Younossi ZM et al. *Hepatology*. 2016; 64(5):1577-1586

1974 Durchschnitt BMI ♂

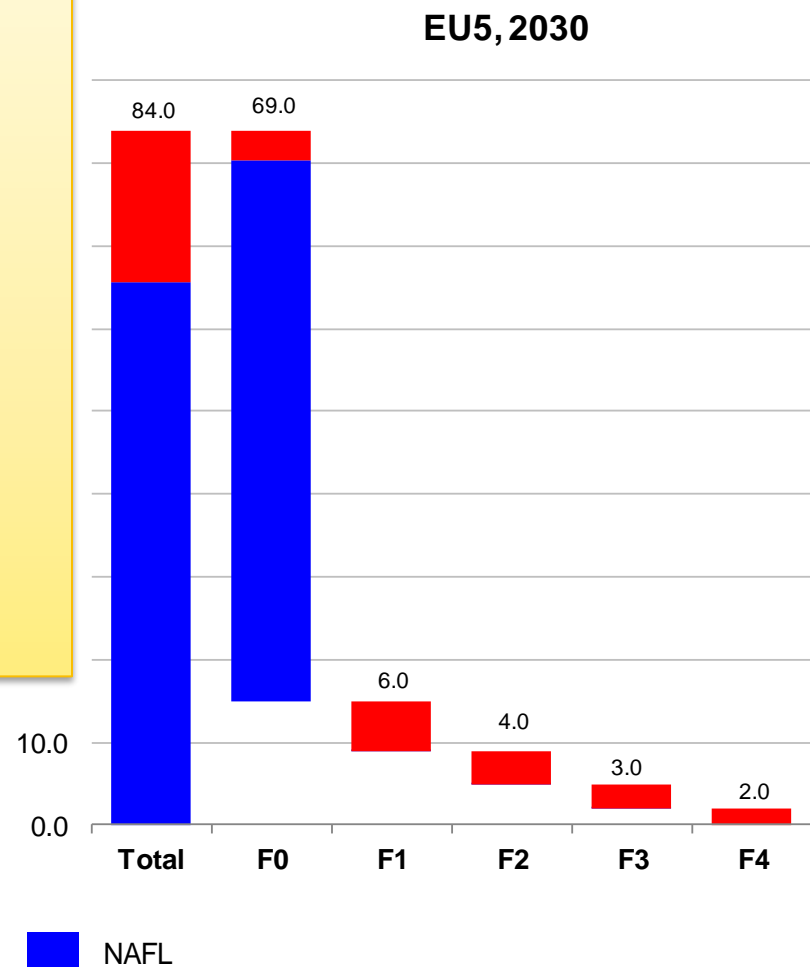
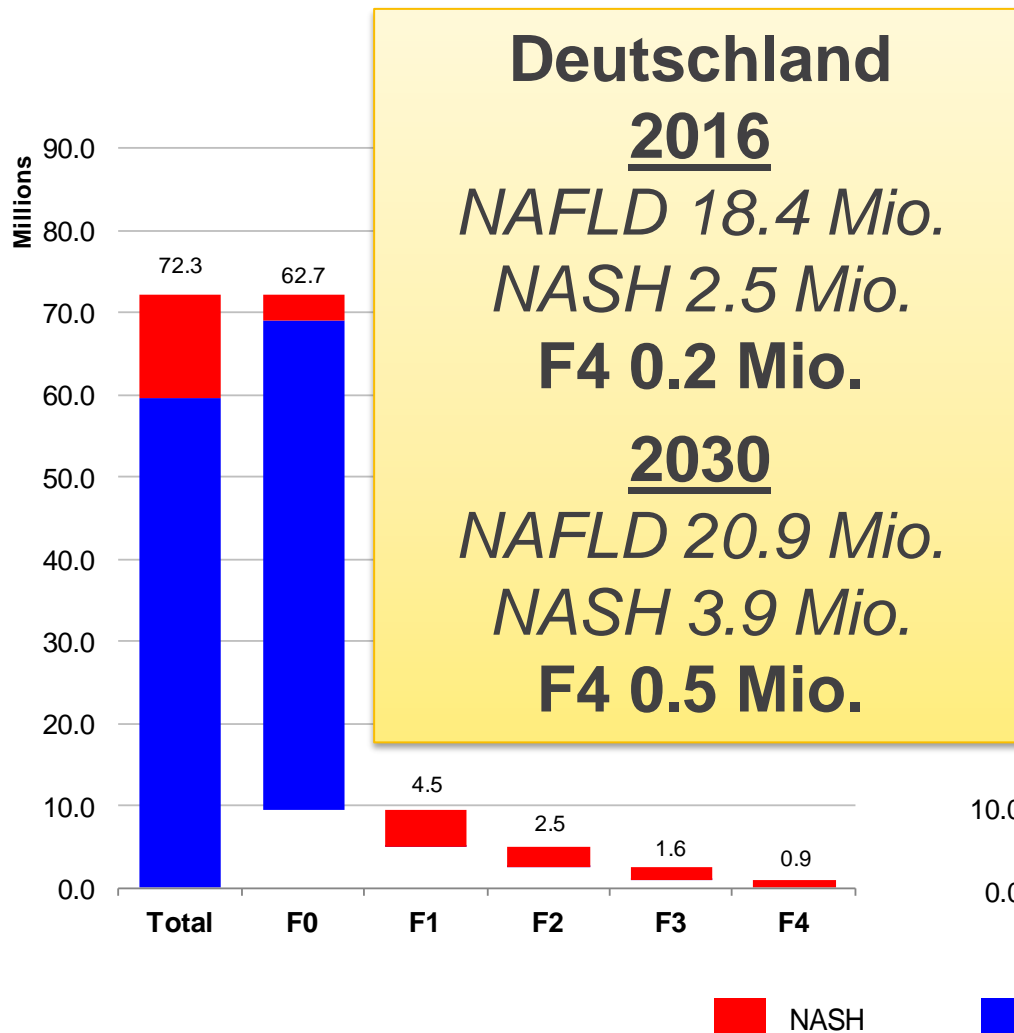


2014 Durchschnitt BMI ♂



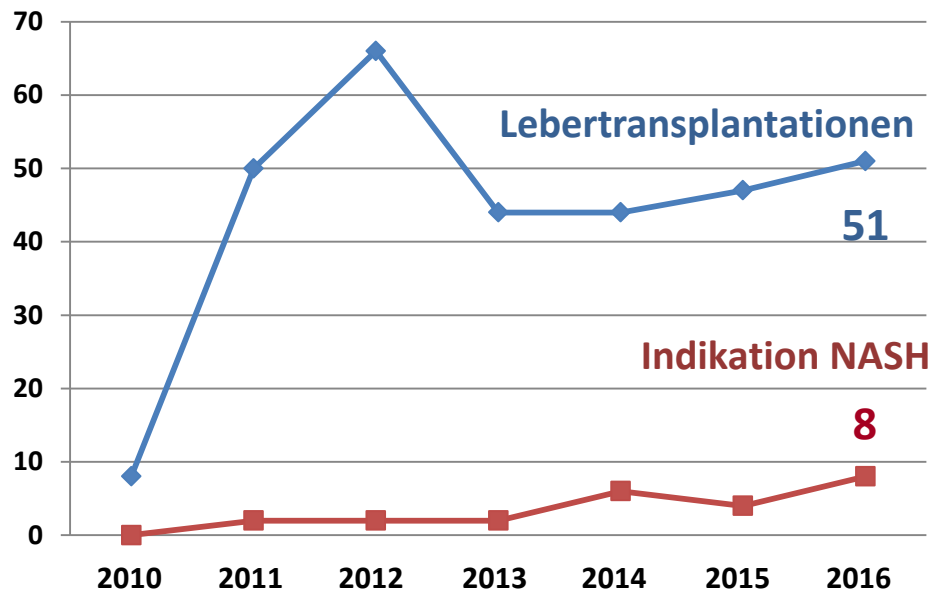
NCD Risk Factor Collaboration. *Lancet* 2016; 387(10026):1377-96.

Übergewicht und Fettleber: Projektion der Epidemiologie



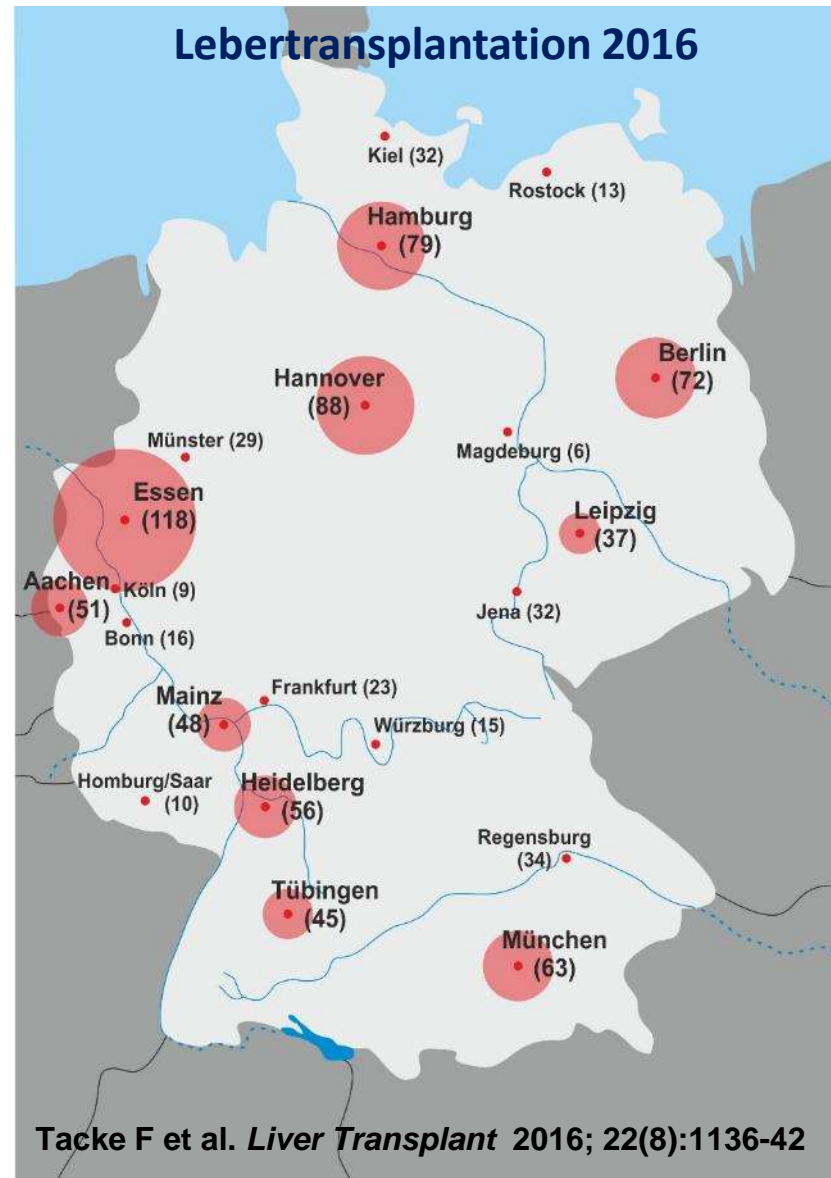
NASH und Lebertransplantation: Trends in Deutschland

LTX-Programm Aachen/Maastricht



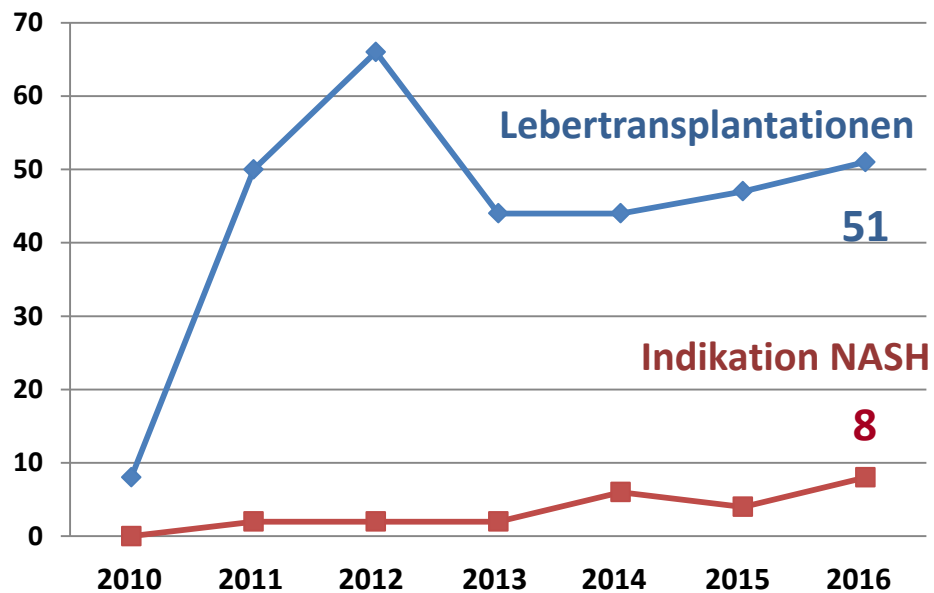
Anteil NASH von 4-5% auf aktuell 12-14%

Zahlreiche Herausforderungen... (ECD-Organe mit Verfettung; CV-Risiko bei Empfänger)



NASH und Lebertransplantation: Trends in Deutschland

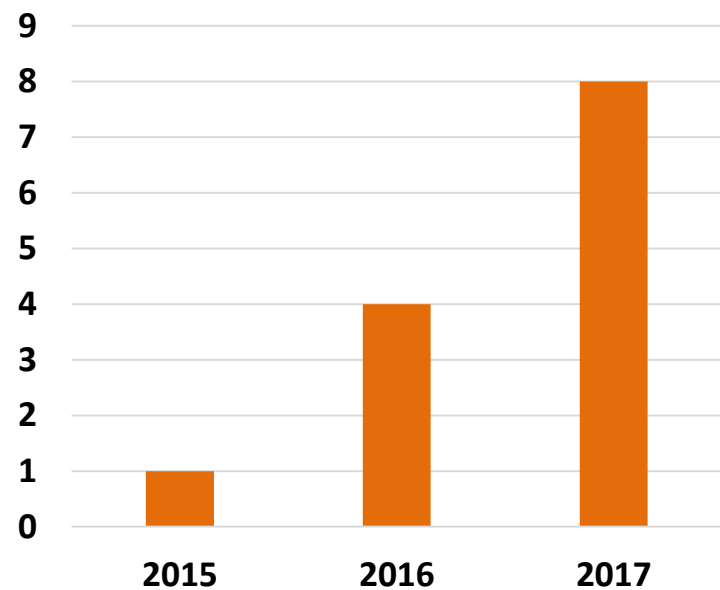
LTX-Programm Aachen/Maastricht



Anteil NASH von 4-5% auf aktuell 12-14%

Zahlreiche Herausforderungen... (ECD-Organe mit Verfettung; CV-Risiko bei Empfänger)

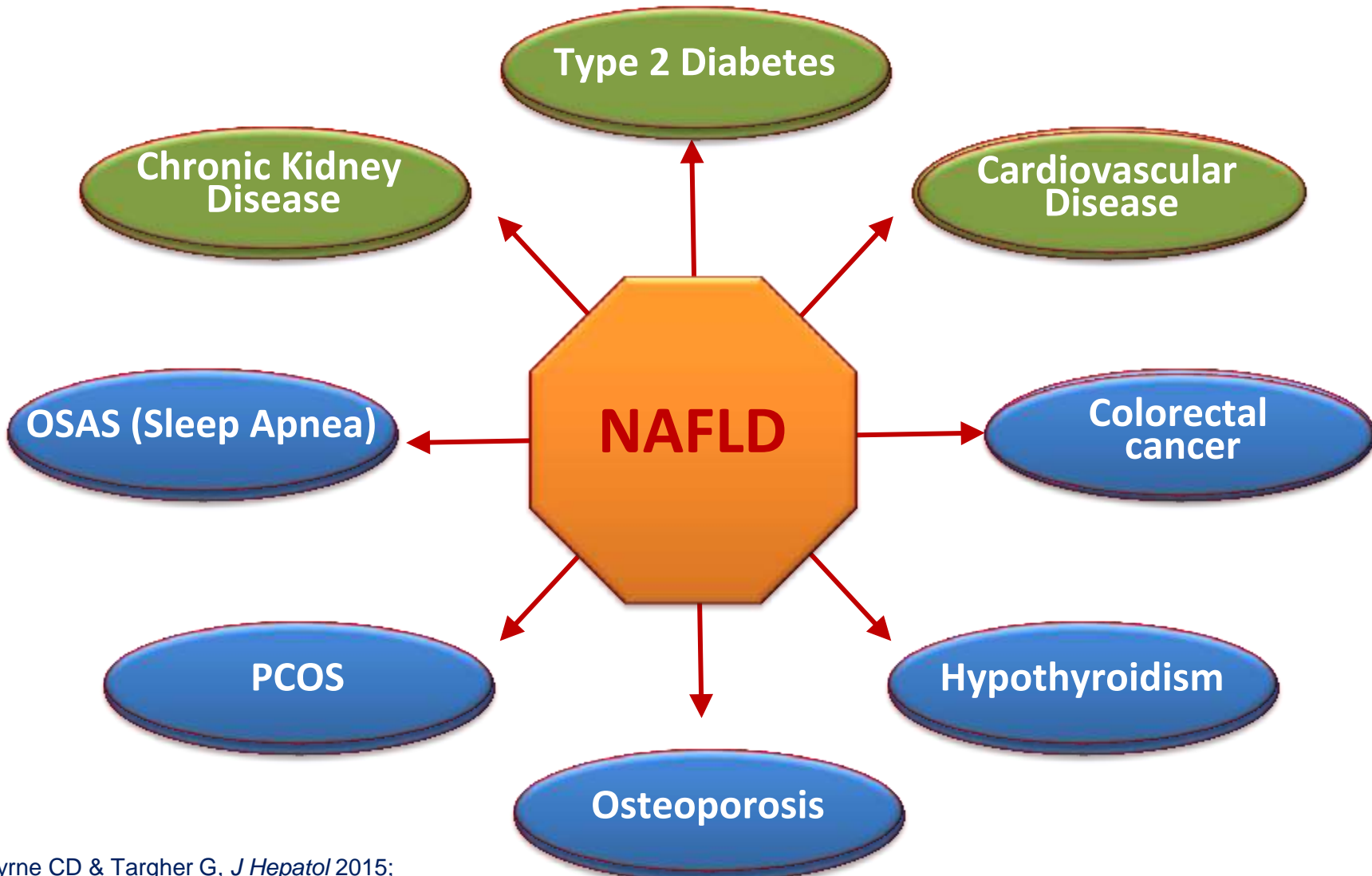
Therapie-Studien NASH in Aachen



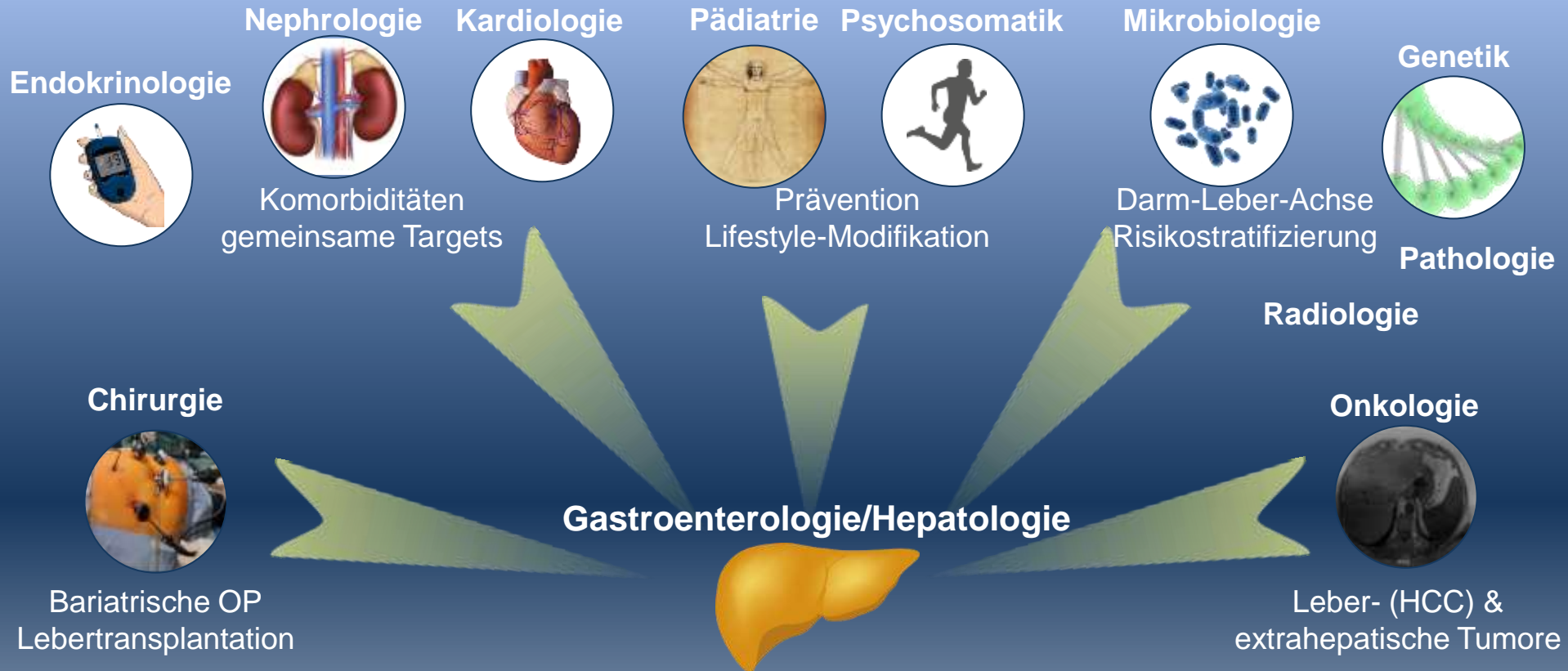
Zielgruppe: NASH-Fibrose und/oder Komorbiditäten

Studienzentrum Viszeralmedizin

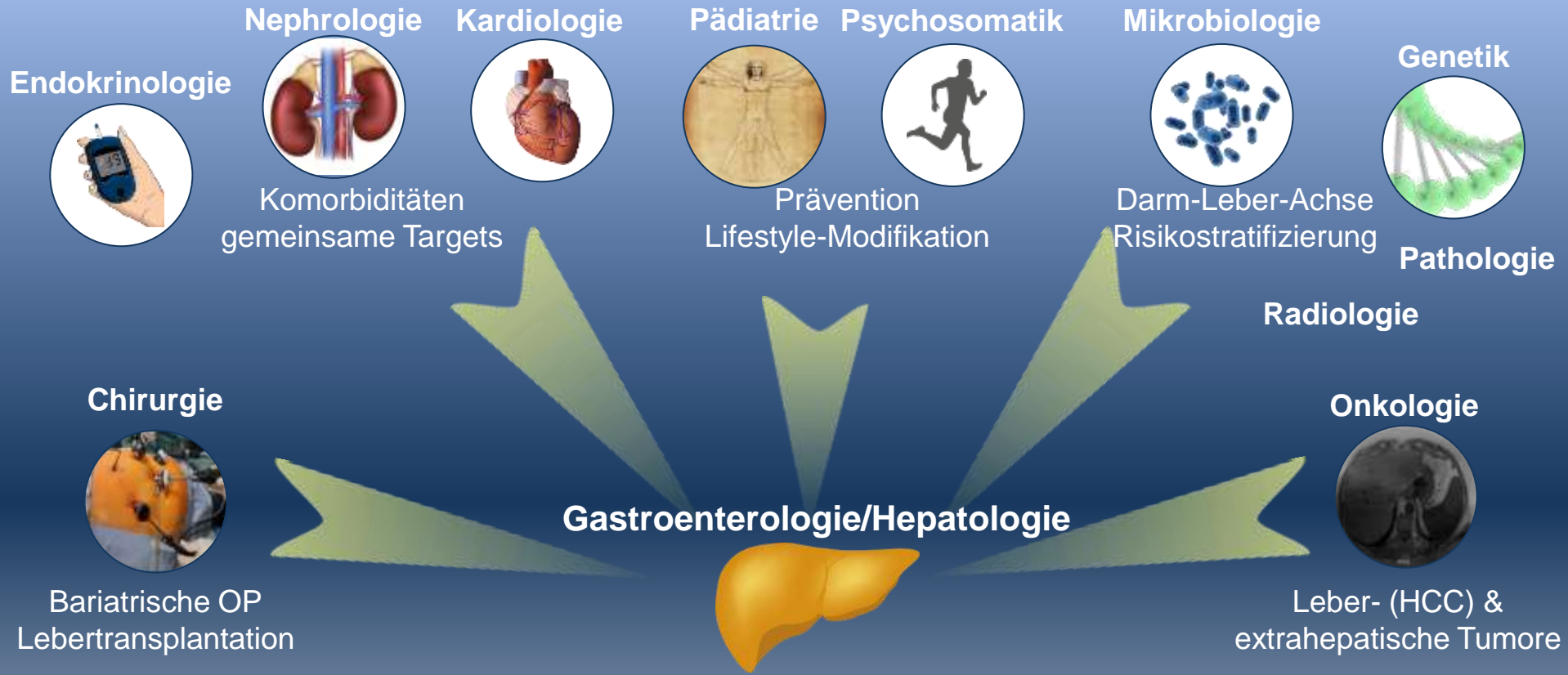
Nicht-alkoholische Fettleber: „eine Systemerkrankung“ (= interdisziplinär)



Zivilisationskrankheit Fettleber – eine interdisziplinäre Herausforderung

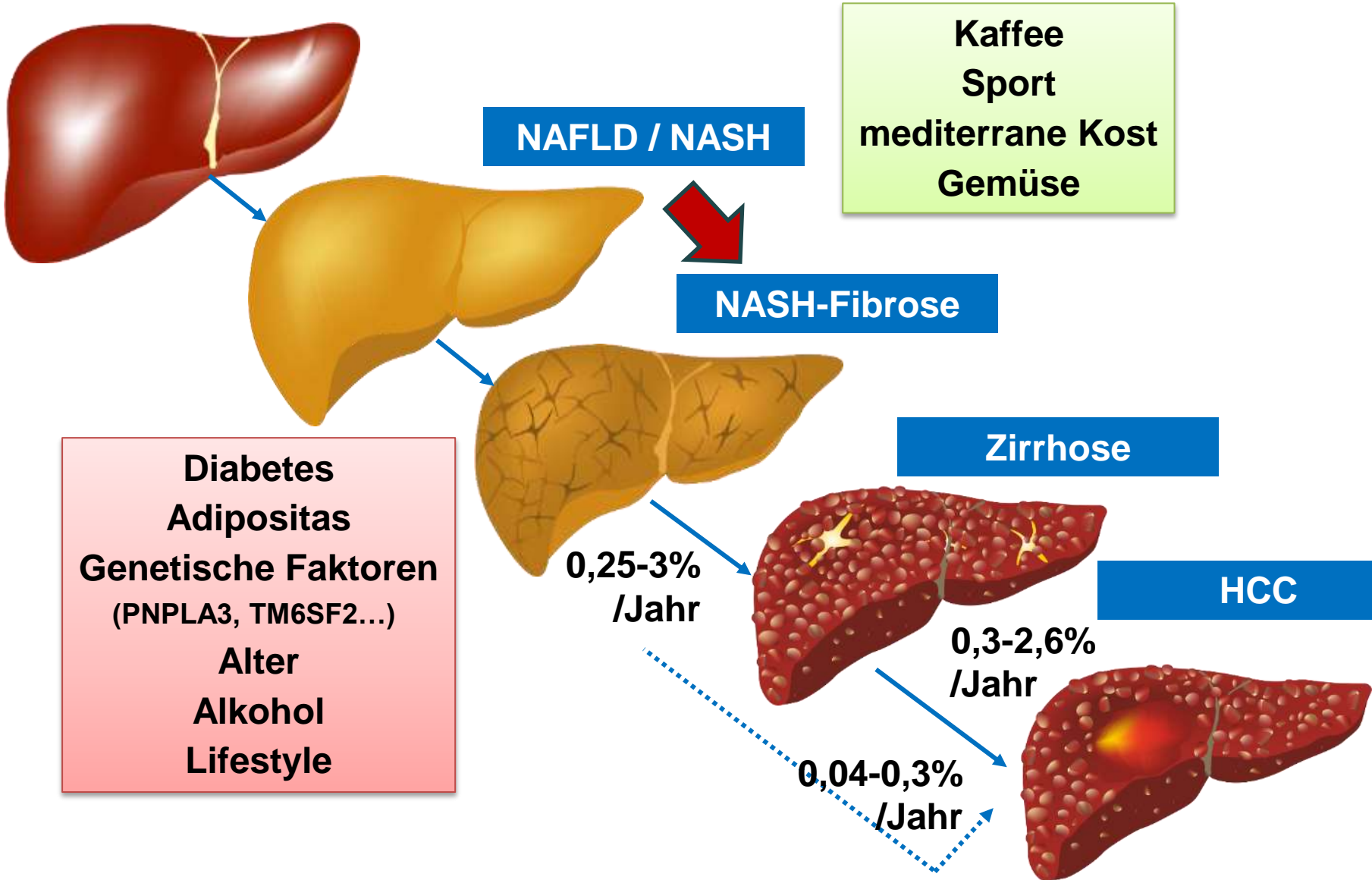


Zivilisationskrankheit Fettleber – eine interdisziplinäre Herausforderung



Patienten:
Risikoabschätzung
Multidisziplinäre Konzepte
Effektive Therapie (Studien)

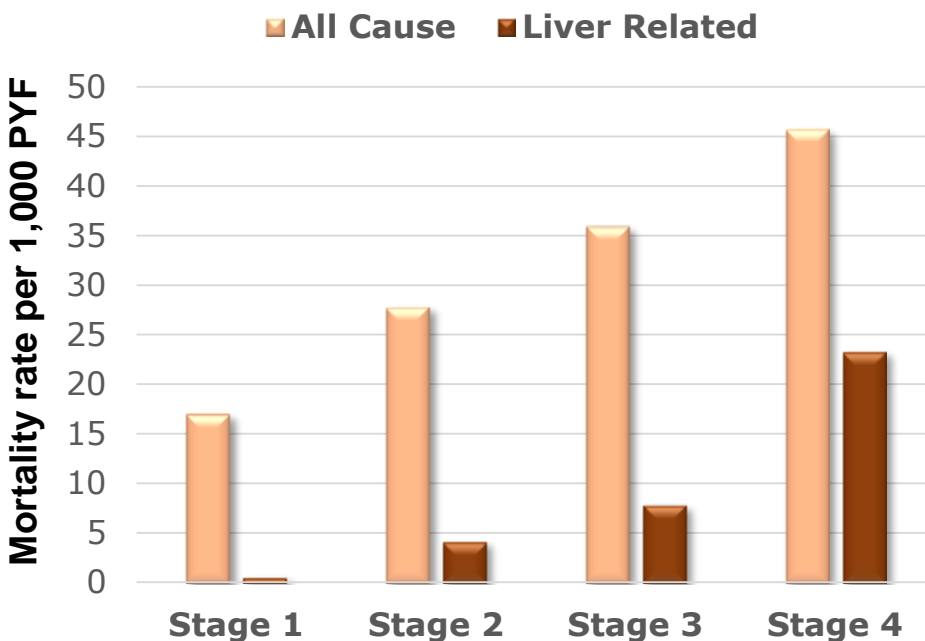
Progression von Fettlebererkrankungen: Bedeutung von Entzündung und Fibrose



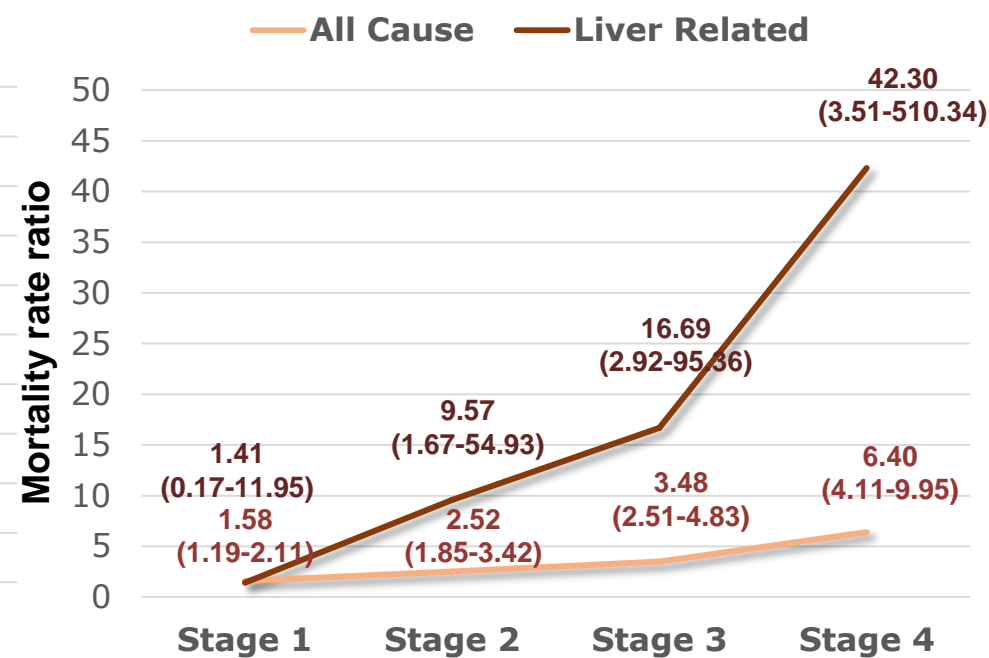
Progression von Fettlebererkrankungen: Bedeutung von Entzündung und Fibrose

- Meta-analysis of 5 studies on fibrosis-related mortality
- 1,495 NAFLD patients with 17,452 patient years of follow-up

Mortality rate by fibrosis stage



Mortality rate ratio by fibrosis stage



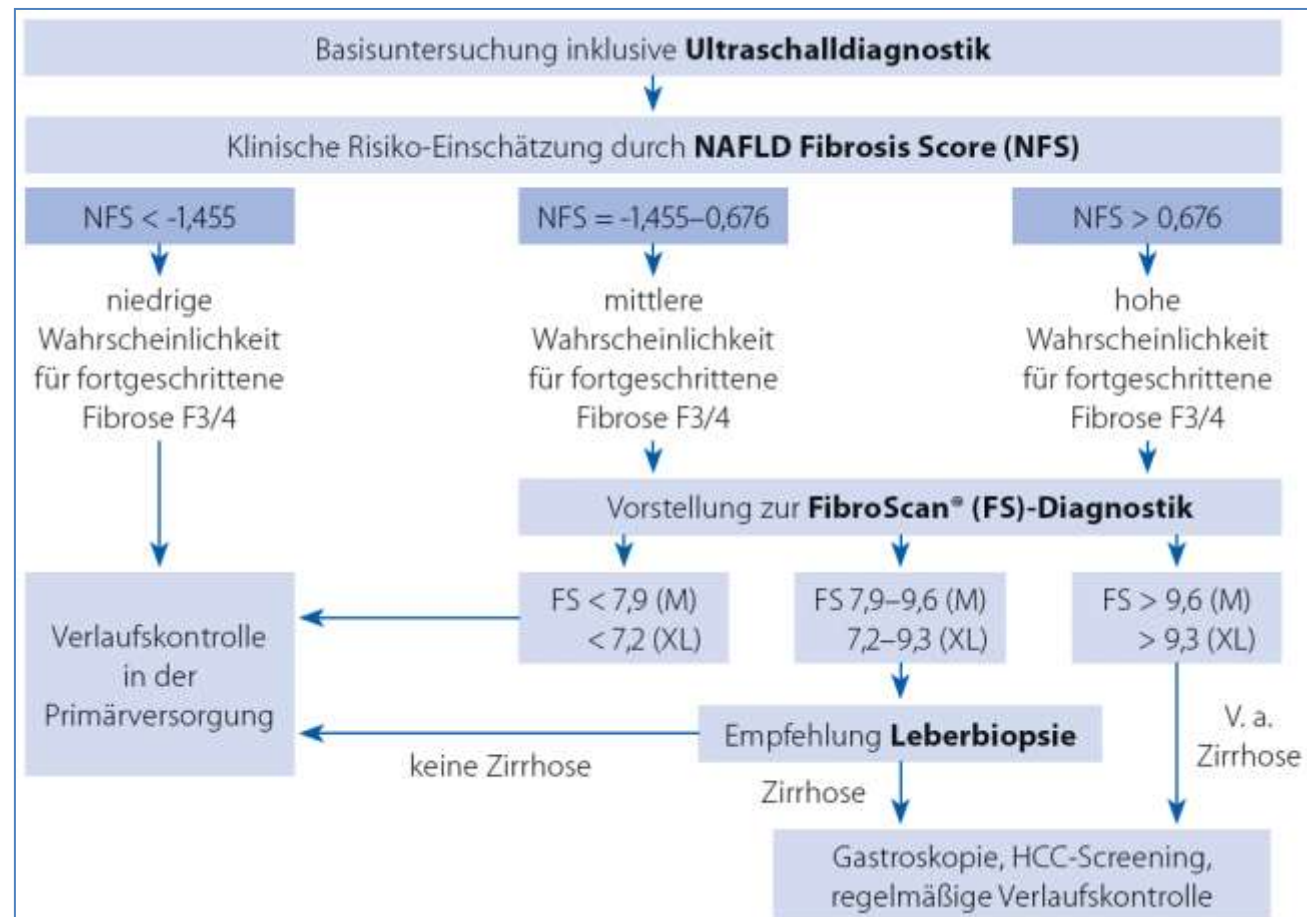
Dulai PS, et al. *Hepatology* 2017; 65: 1557–1565.

PYF, patients years of follow-up
Mortality rate ratio = actual mortality versus expected mortality

Diagnostischer Algorithmus bei nicht-alkoholischen Fettlebererkrankungen

NAFLD Fibrosis Score (NFS)

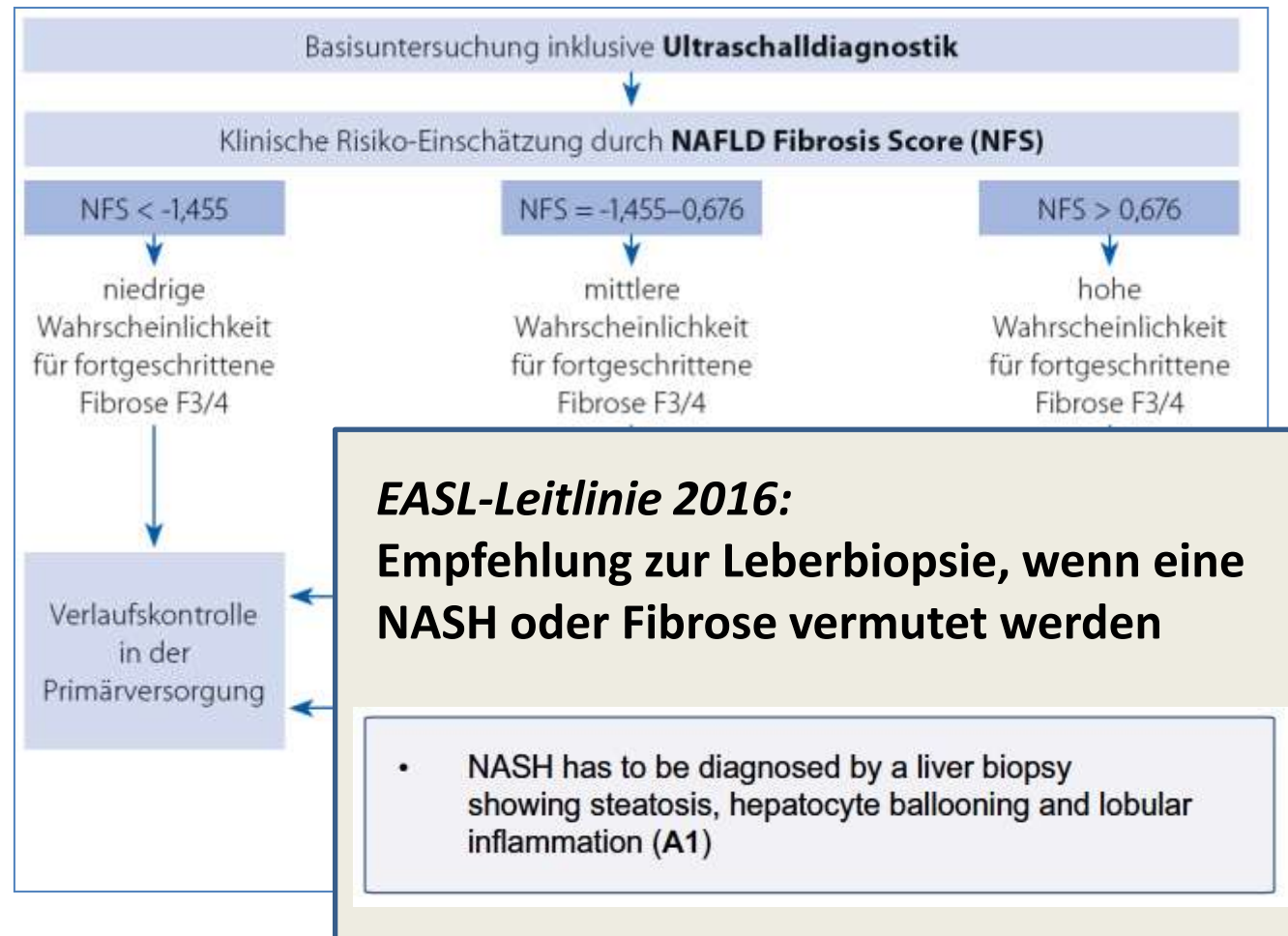
Age (years)	<input type="text"/>
BMI (kg/m ²)	<input type="text"/>
IGF/diabetes	<input checked="" type="checkbox"/>
AST	<input type="text"/>
ALT	<input type="text"/>
Platelets ($\times 10^9/l$)	<input type="text"/>
Albumin (g/l)	<input type="text"/>
<input type="button" value="calculate score"/>	



Diagnostischer Algorithmus bei nicht-alkoholischen Fettlebererkrankungen

NAFLD Fibrosis Score (NFS)

Age (years)	<input type="text"/>
BMI (kg/m ²)	<input type="text"/>
IGF/diabetes	<input checked="" type="checkbox"/>
AST	<input type="text"/>
ALT	<input type="text"/>
Platelets ($\times 10^9/l$)	<input type="text"/>
Albumin (g/l)	<input type="text"/>
<input type="button" value="calculate score"/>	



Fazit für Klinik und Praxis: Vorgehen bei Patienten mit Fettleber

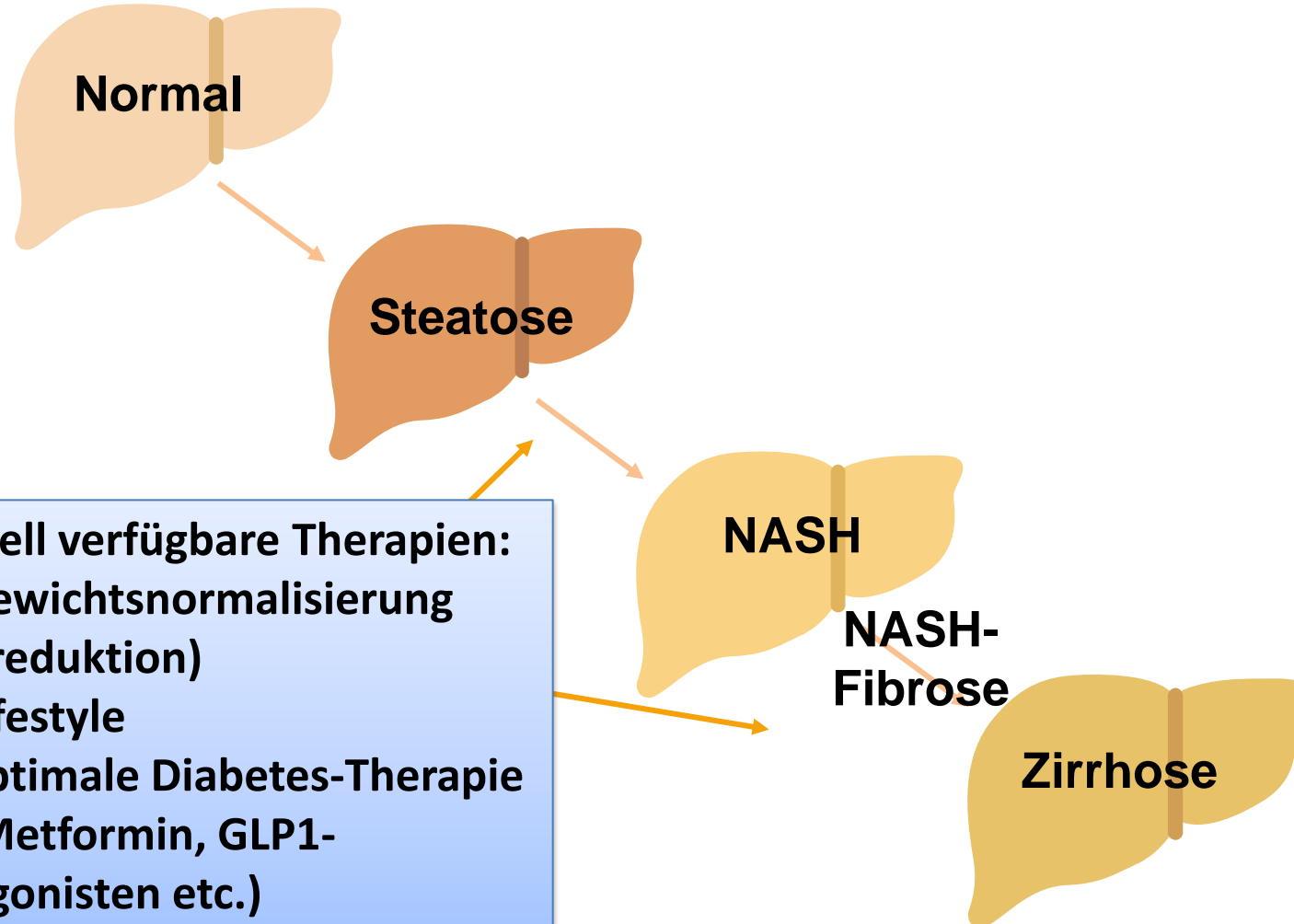
Fettlebererkrankungen nehmen dramatisch zu – auch als Lebertransplantationsindikation und Ursache für Leberzellkarzinom

Die frühzeitige Identifikation von Risikopatienten (Komorbiditäten, Leberwerte, Genetik, Bildgebung) ist entscheidend, um Komplikationen zu vermeiden

Fibrose gilt als Schlüsselmechanismus für Prognose und neue Therapien – nicht-invasive Tests/Scores und ggfs. Biopsie durchführen

Hepatologie braucht kooperative Vernetzung mit klinischen Partnern (Kardiologie, Diabetologie, bariatrische Chirurgie, Psychosomatik...)

Aktuelle und künftige Therapieoptionen der nicht-alkoholischen Fettleber



Die aktuelle Therapiepyramide der nicht-alkoholischen Fettleber

Shira Zelber-Sagi. EASL
PGC NAFLD 2017.

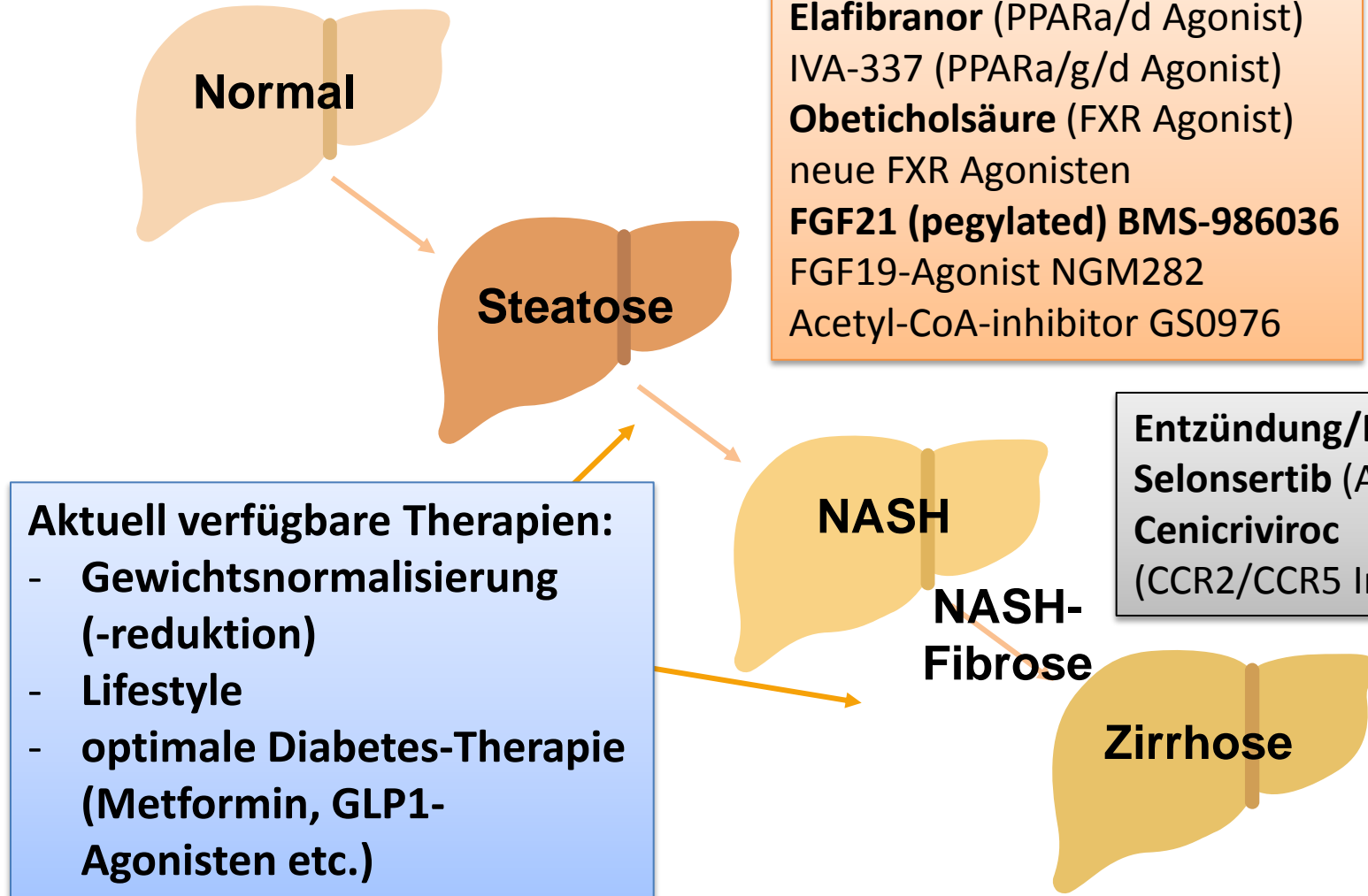
- ✓ Aerobe & Ausdauer Übungen als unabhängiger Faktor:
 - reduziert Leberfettgehalt
 - NASH und fibrosis – wenig Evidenz

- ✓ Ernährungsmodifikation ohne Gewichtsverlust
 - reduziert Leberfettgehalt
 - NASH und fibrosis – wenig Evidenz
 - reduziertes Risiko für HCC?

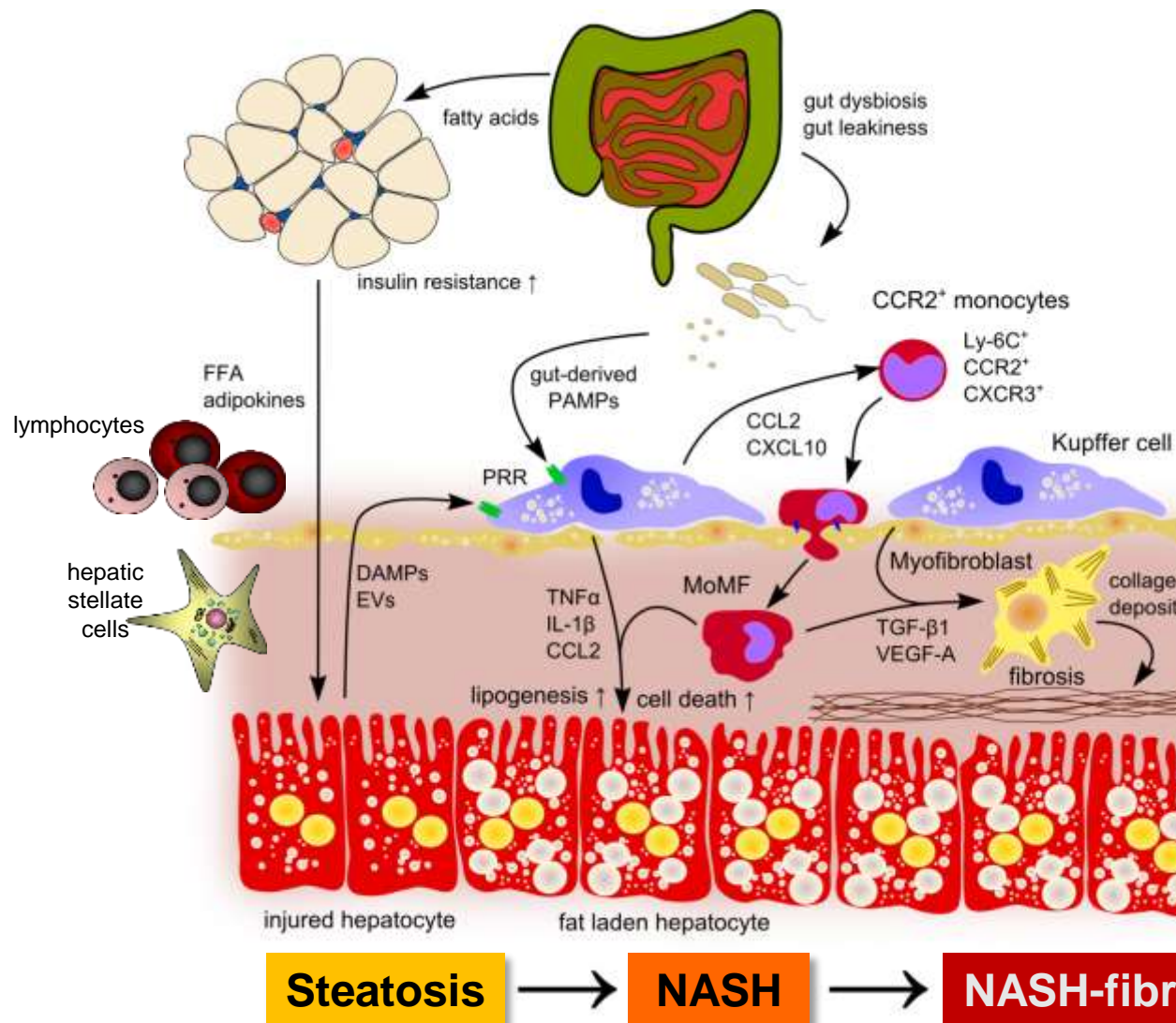
- ✓ Konsistent günstige Effekte
 - Steatose $\geq 5\%$ Gewichtsverlust
 - NASH $\geq 7\%$ Gewichtsverlust
 - Fibrosis $\geq 10\%$ Gewichtsverlust



Aktuelle und künftige Therapieoptionen der nicht-alkoholischen Fettleber



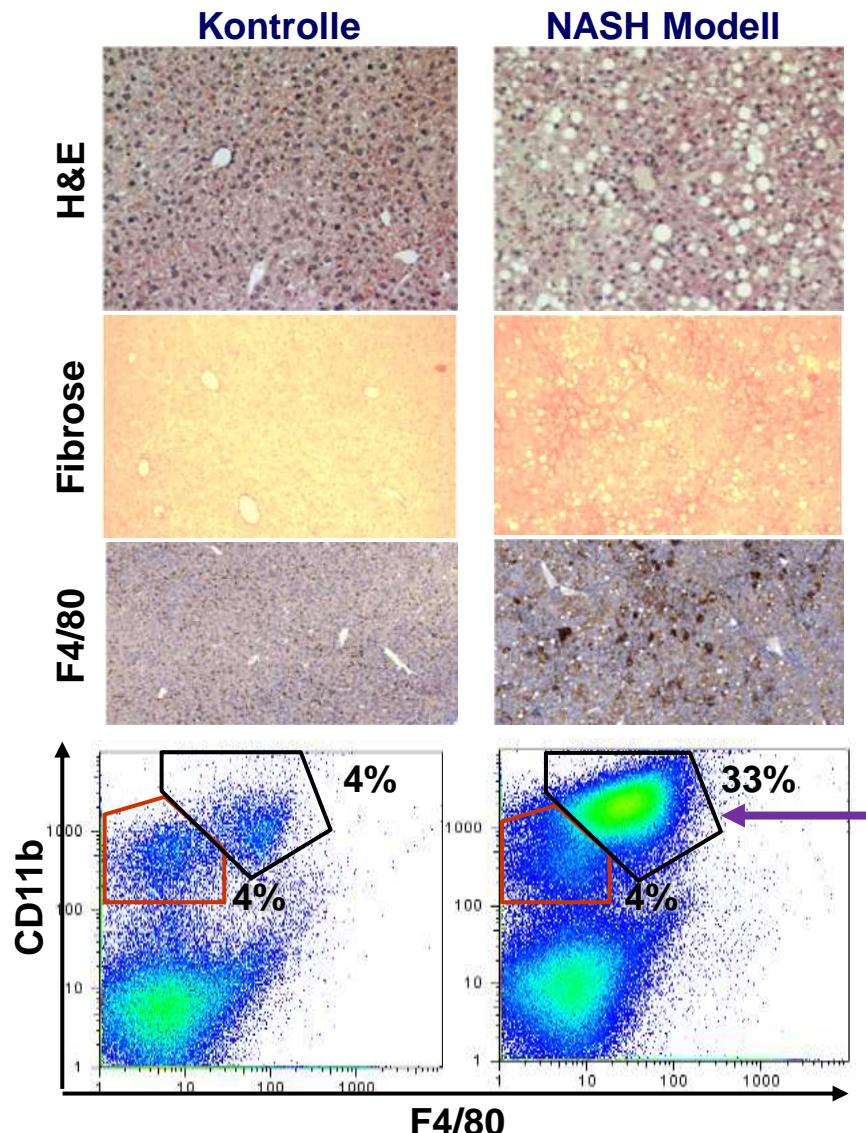
Neuer immunologischer Ansatz: Monozyten / Makrophagen in Fettleber und Fibrose



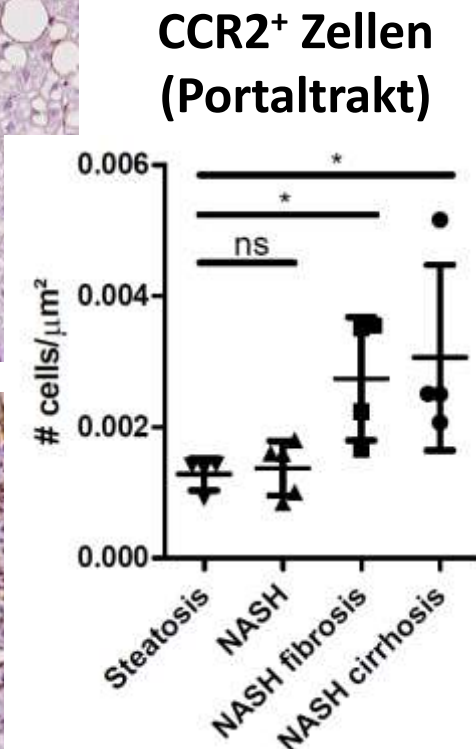
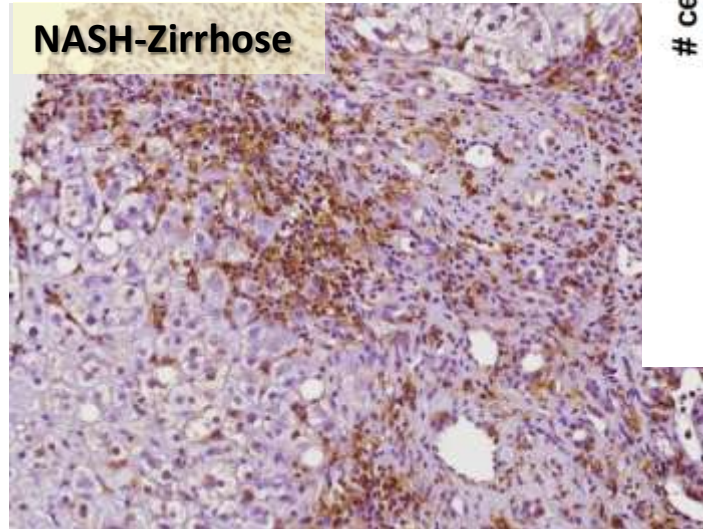
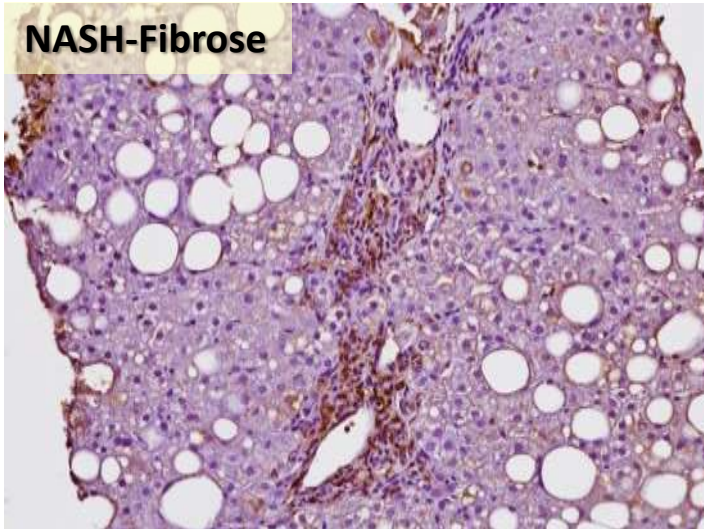
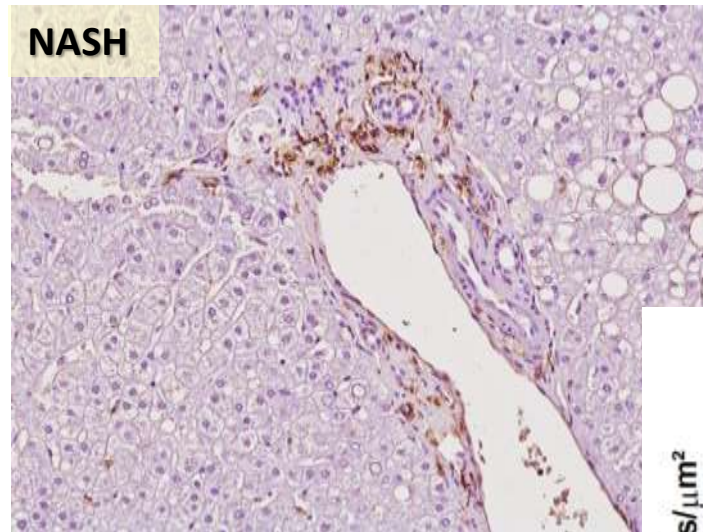
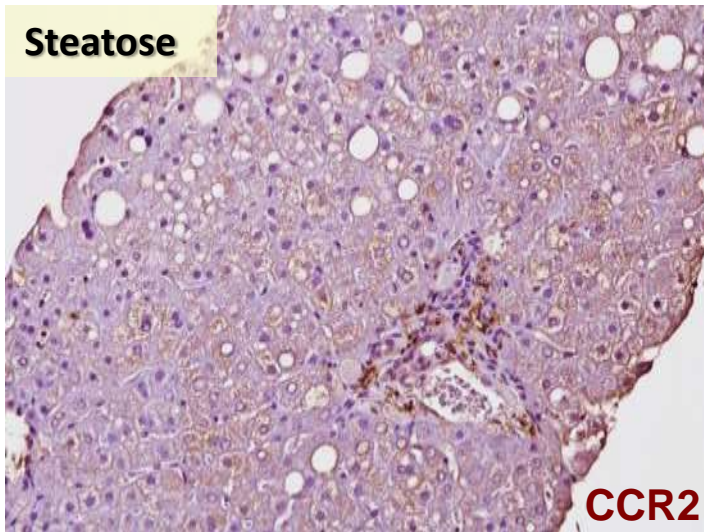
Neuer immunologischer Ansatz: Monozyten / Makrophagen in Fettleber und Fibrose

- Heterogene Populationen von Makrophagen in der Leber
- Massive Einwanderung inflammatorischer Monozyten / Makrophagen in die Leber
- Einwanderung wird über Chemokine, z.B. CCR2 – CCL2, gesteuert
- Inflammatorische Makrophagen aktivieren Sternzellen (Fibrose), fördern Hepatozytenapoptose und haben systemische Wirkungen (Atherosklerose, Insulinresistenz)

Mossanen JC / Tacke F. *Hepatology* 2016
Baeck C / Tacke F. *Hepatology* 2014
Ehling J / Tacke F. *Gut* 2014
Wehr A / Tacke F. *J Immunol* 2013
Baeck C / Tacke F. *Gut* 2012
Karlmark KR / Tacke F. *Hepatology* 2009
Tacke F / Randolph GJ. *J Clin Invest* 2007



Portale CCR2⁺ Makrophagen in humarer Fettleber akkumulieren bei Fibrose



Heterogenität von Makrophagen in der Leber (Maus)



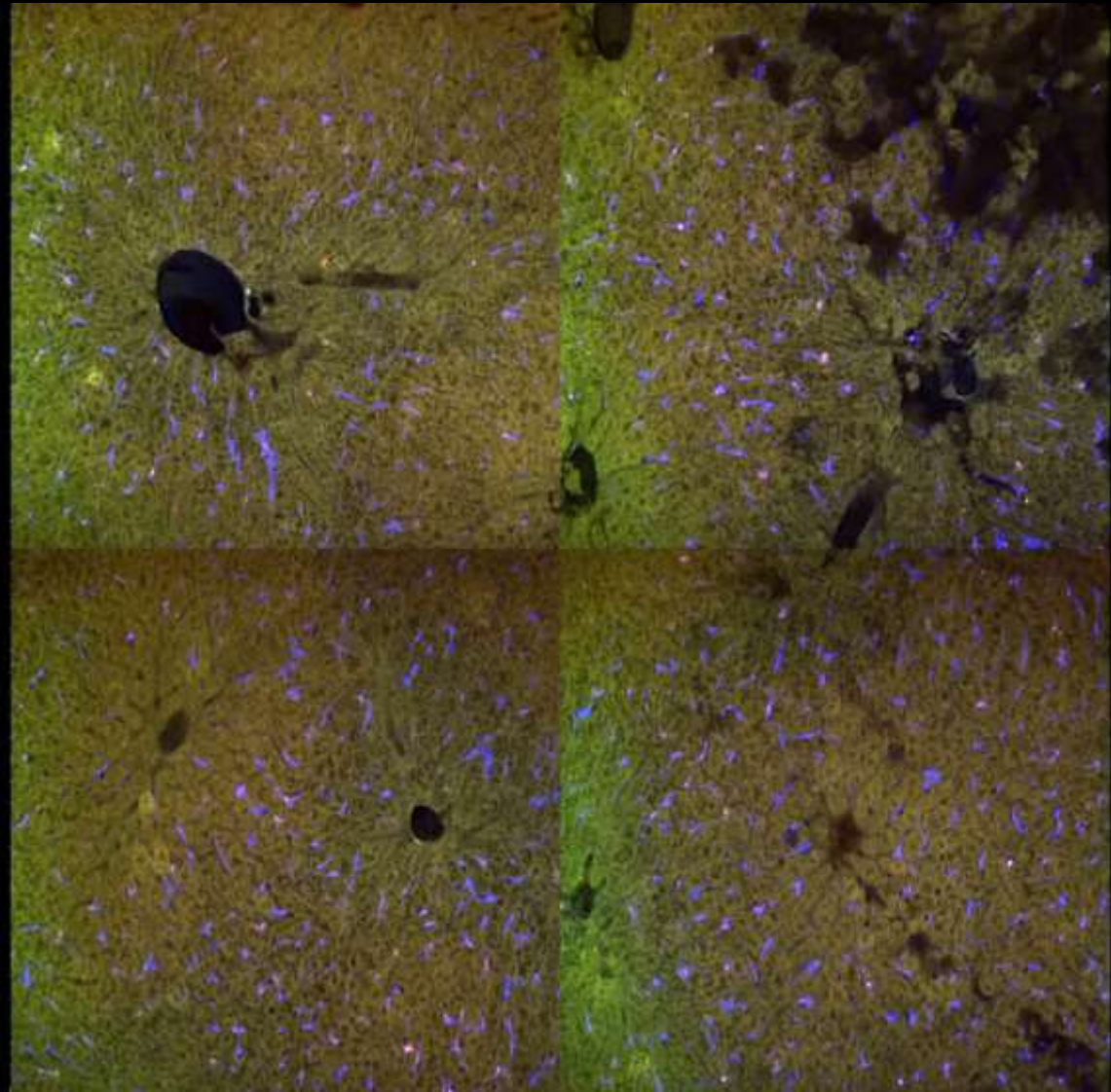
before clearing



after clearing

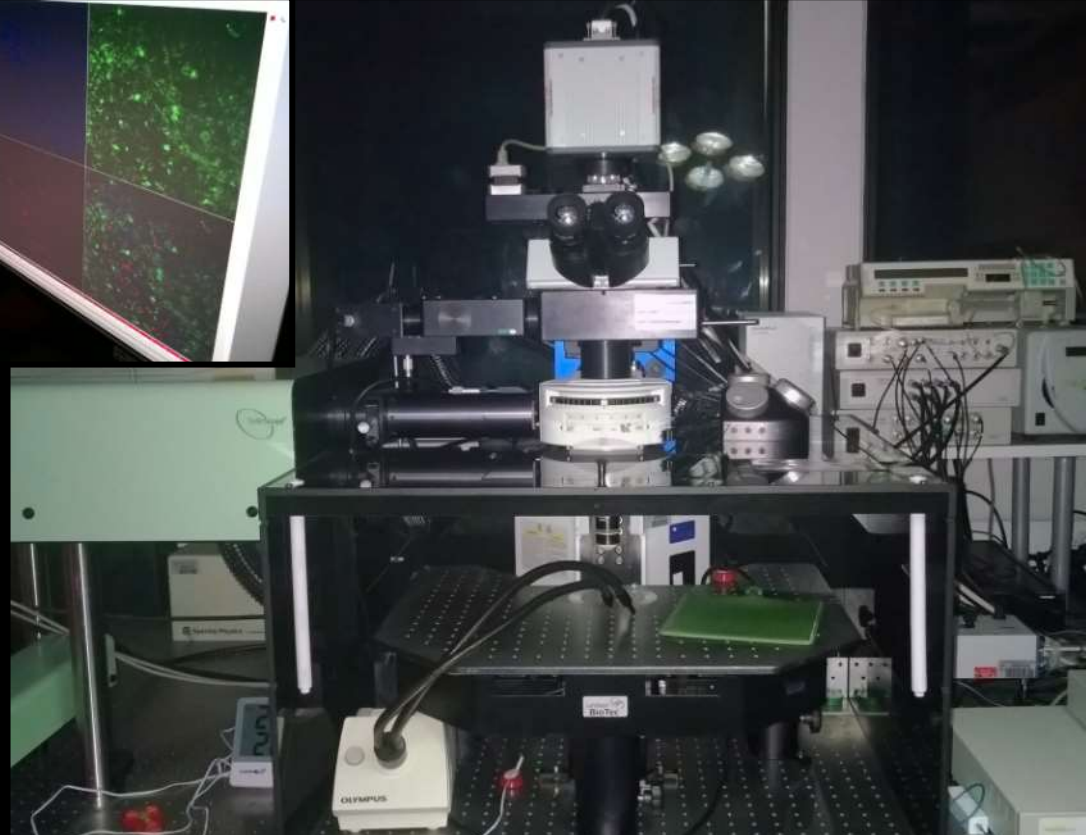
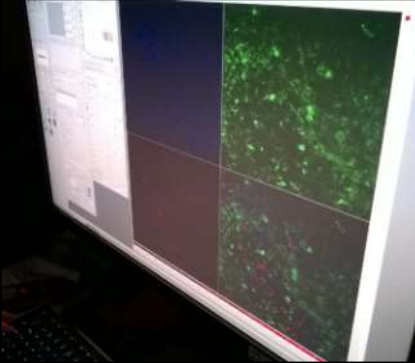
blue: F480,
collagen
red: CD11b

80 µm



Monozyten-Makrophagen-Populationen in experimenteller Leberschädigung

Intravitale Multiphotonen-Mikroskopie

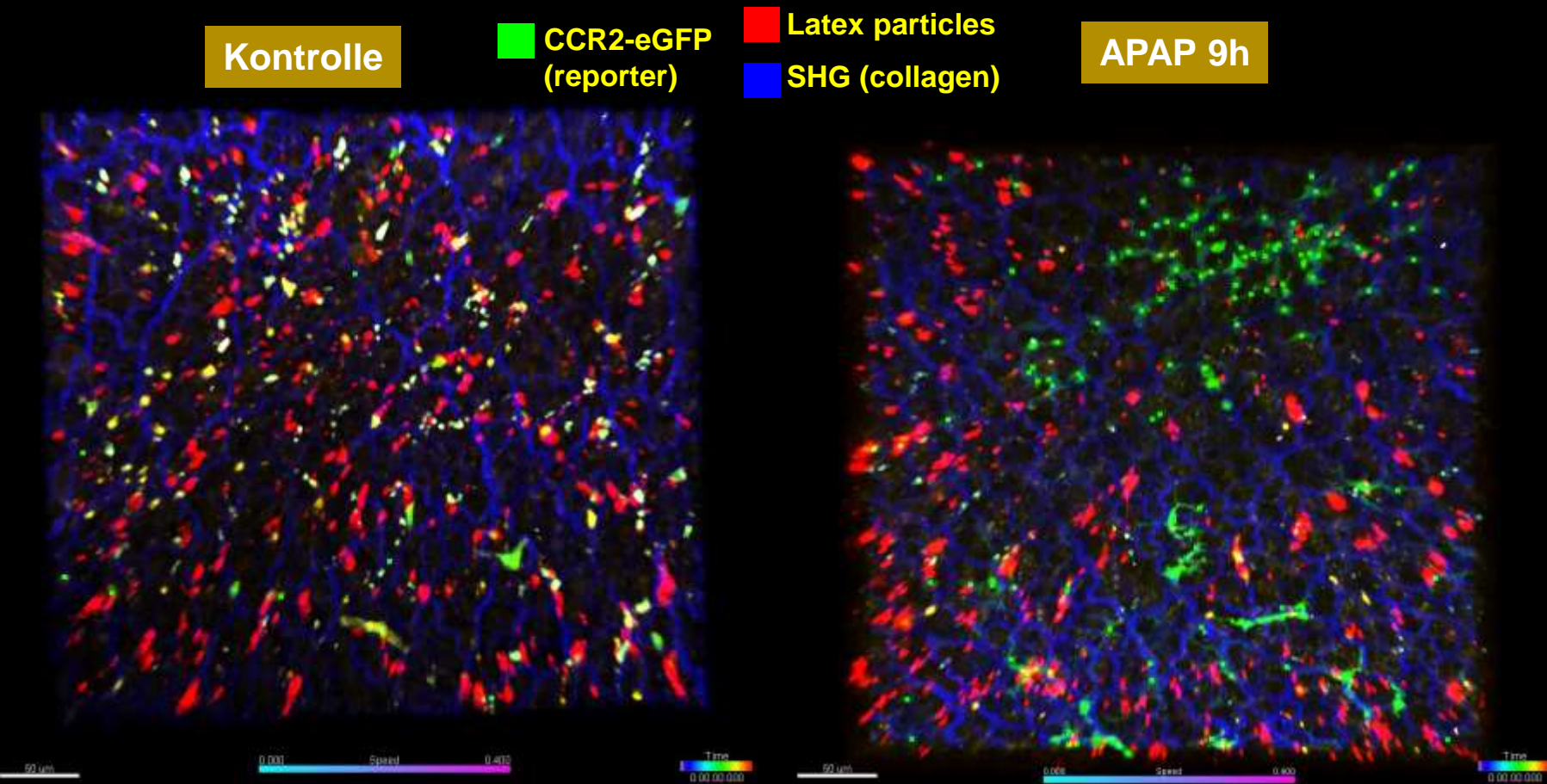


Heymann F / Tacke F. *Hepatology* 2015

Heymann F / Tacke F. *J Vis Exp* 2015

Untersuchung von Migration und Zell-Zell-Interaktionen in Echtzeit *in vivo*

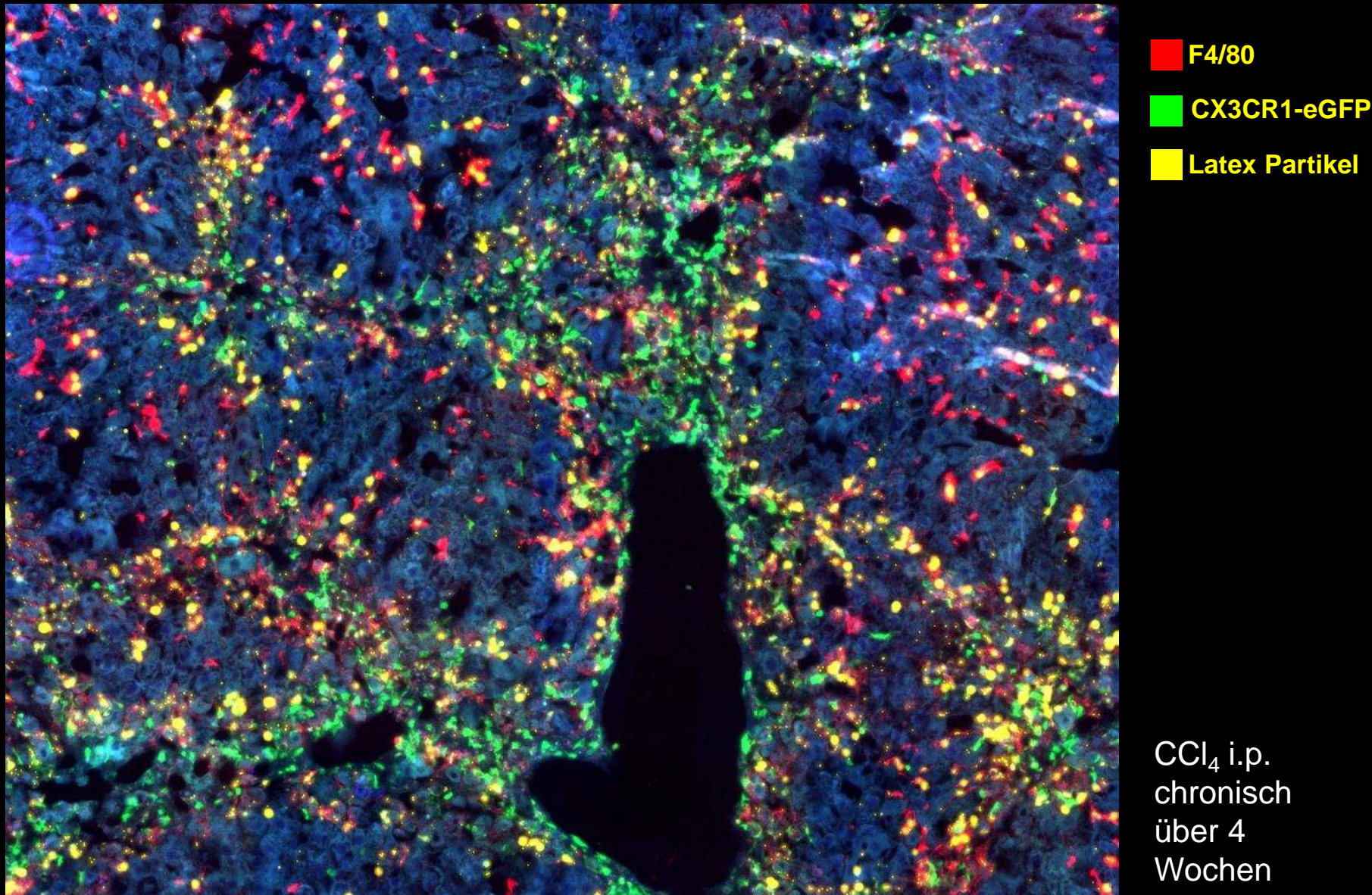
Rekrutierung CCR2⁺ inflammatorischer Monozyten in experimenteller Leberschädigung



- Monozyten (CCR2+) patrouillieren in Homöostase durch die Leber
- Monozyten akkumulieren in geschädigter Leber, formen Cluster

Mossanen JC, Krenkel O / Tacke F.
Hepatology 2016; 64(5):1667-1682

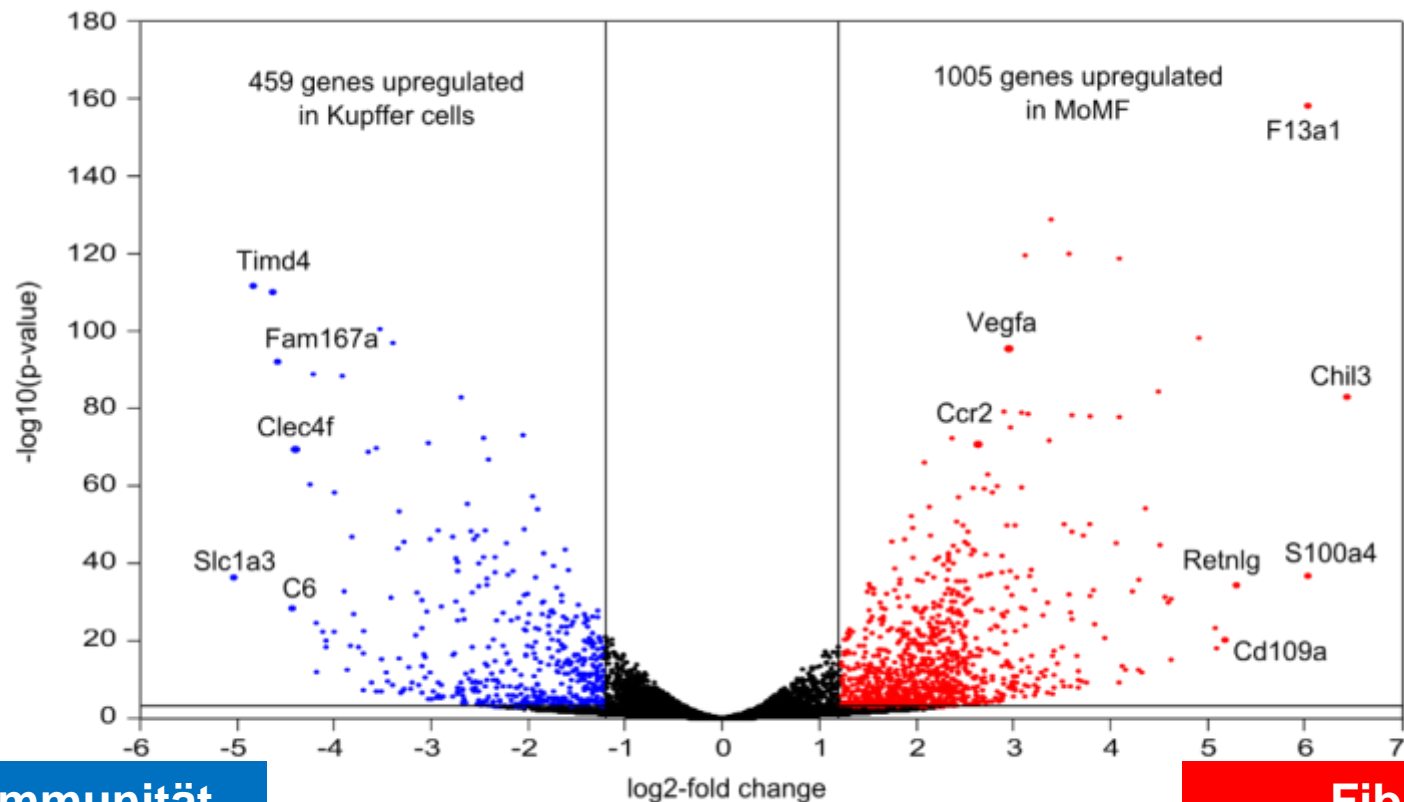
Monozyten-Makrophagen-Populationen in experimenteller Leberschädigung



Funktionelle Unterschiede zwischen Makrophagen-Populationen in NASH-Modellen

höher in Kupffer Zellen

 höher in Monozyten-
abhängigen Makrophagen



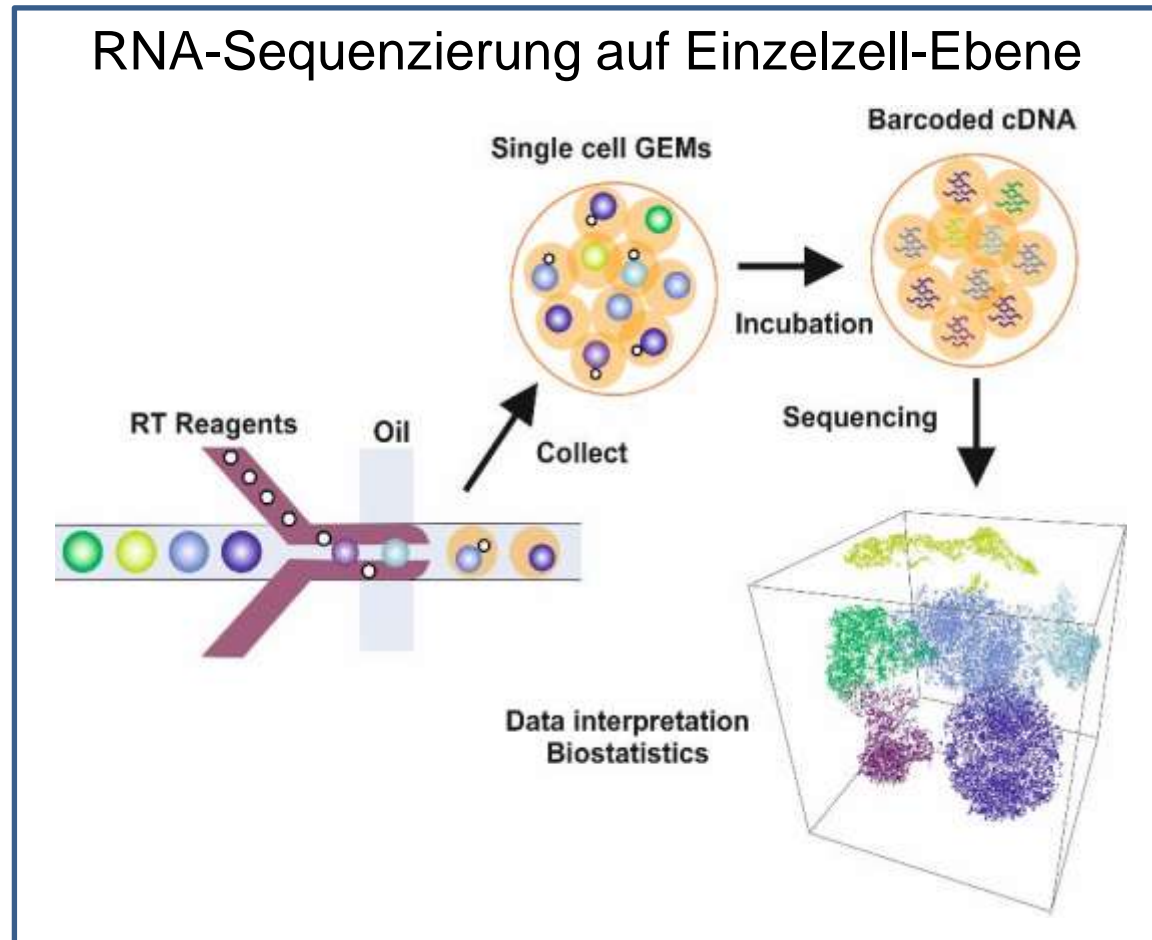
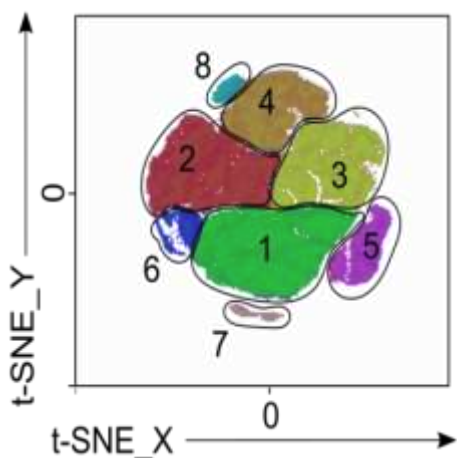
Innate Immunität
Lipid Metabolismus

Fibrose
Angiogenese

Funktionelle Unterschiede zwischen Makrophagen-Populationen in NASH-Modellen

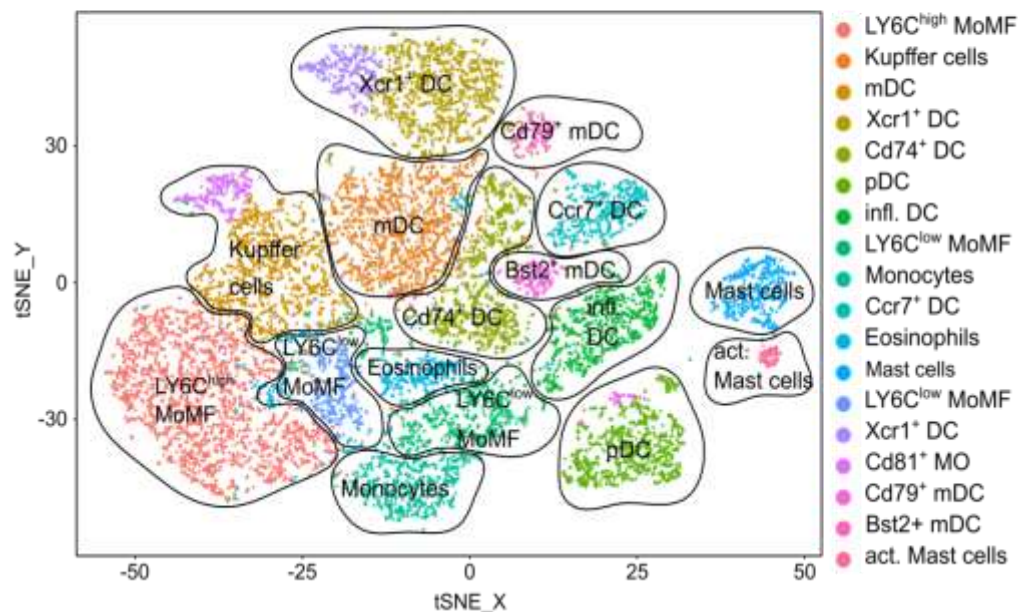
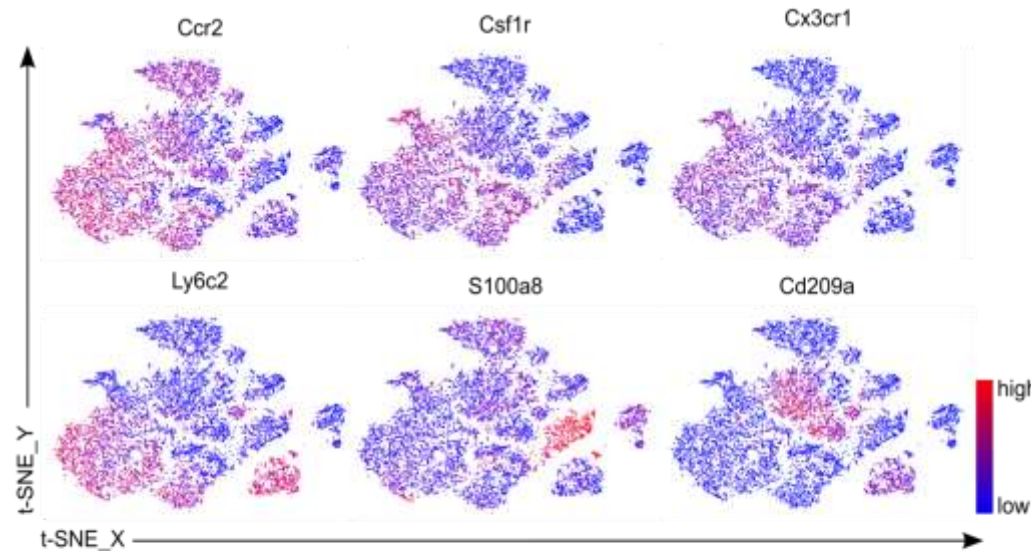


Q3 Zellisolation Core Facility

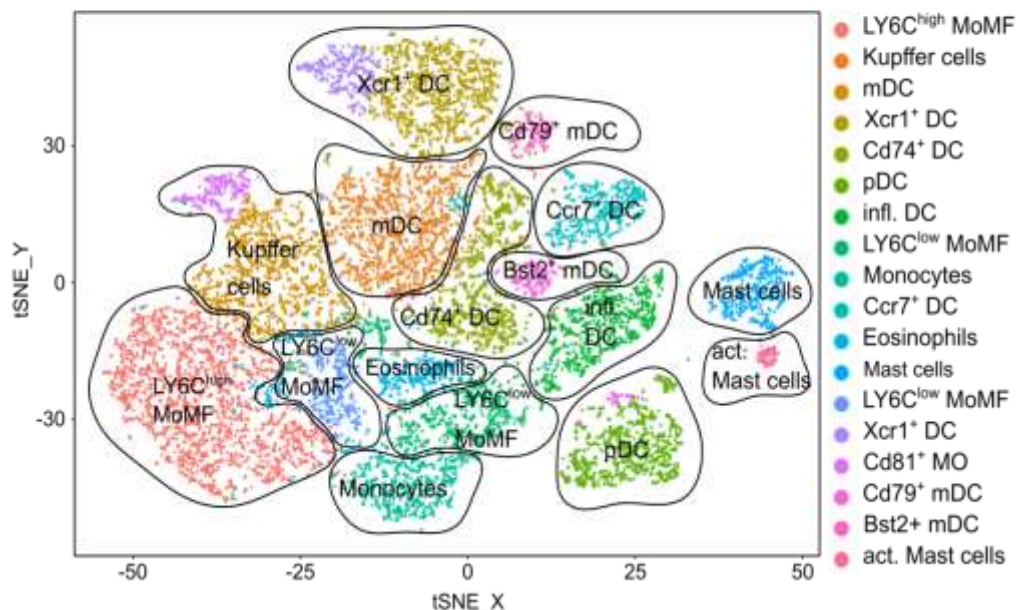
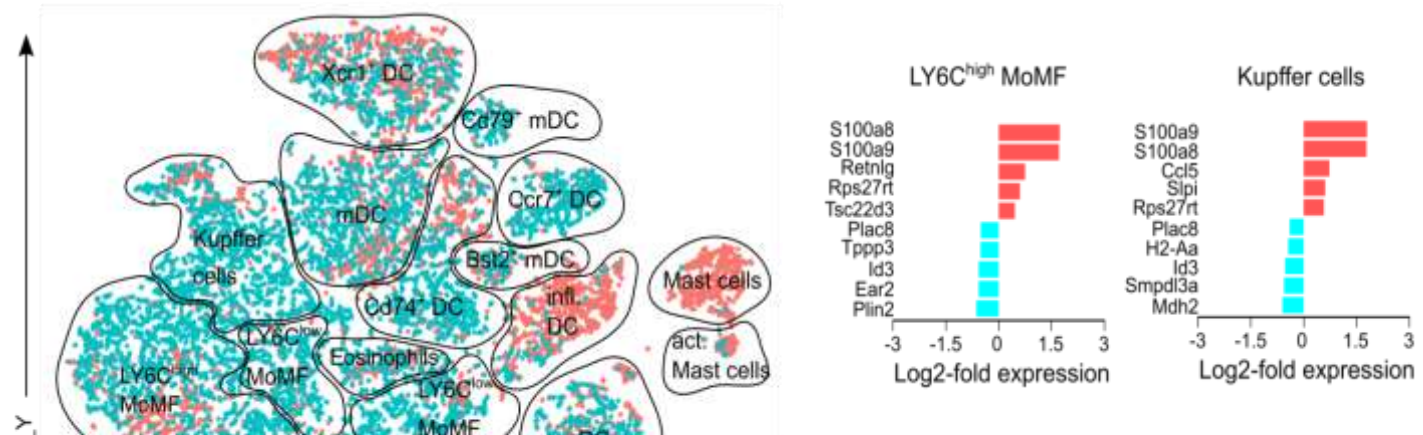


gefördert durch DFG SFB/TRR 57

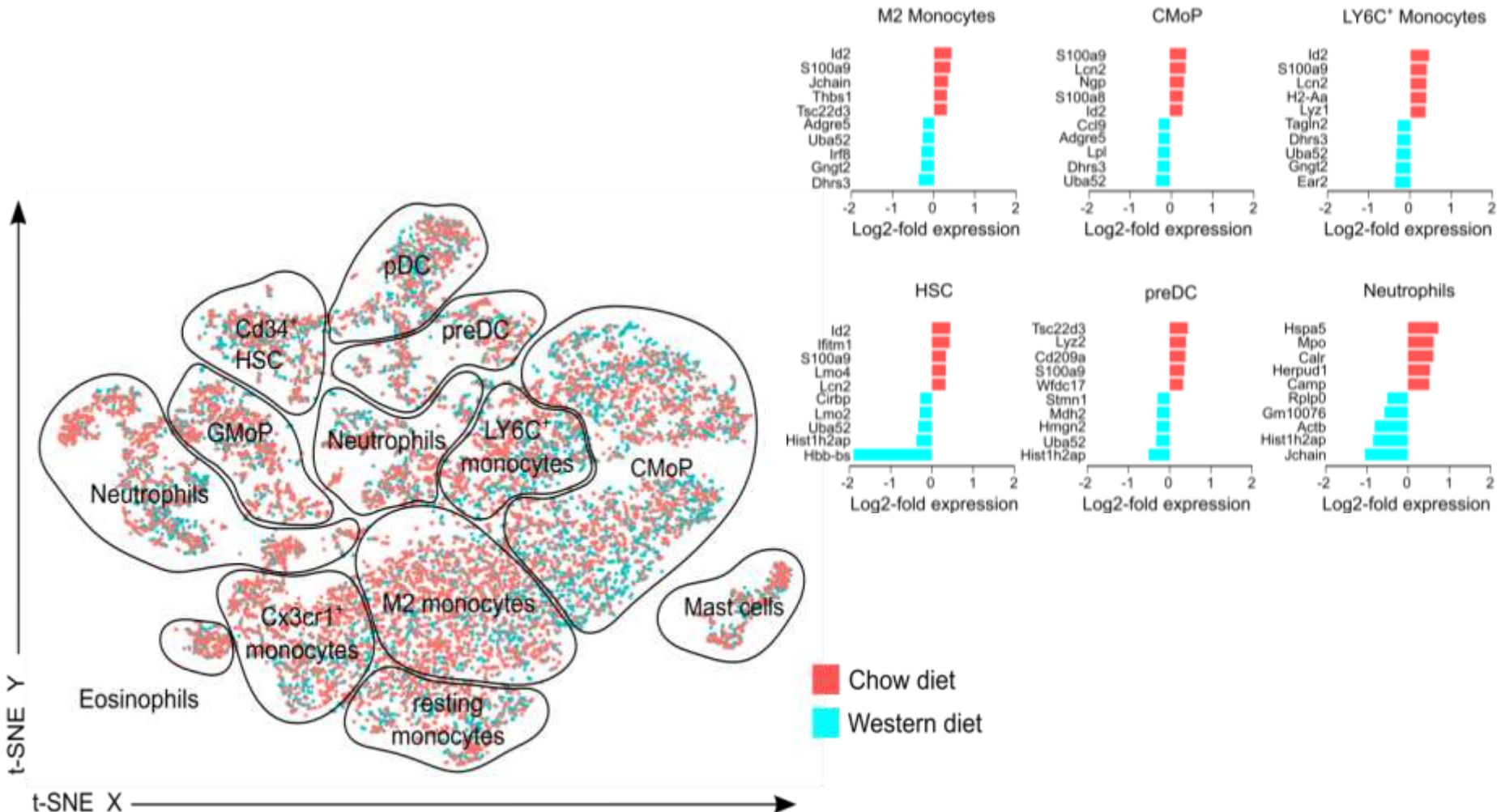
Single cell RNA Sequencing von hepatischen Makrophagen-Populationen in NASH-Modellen



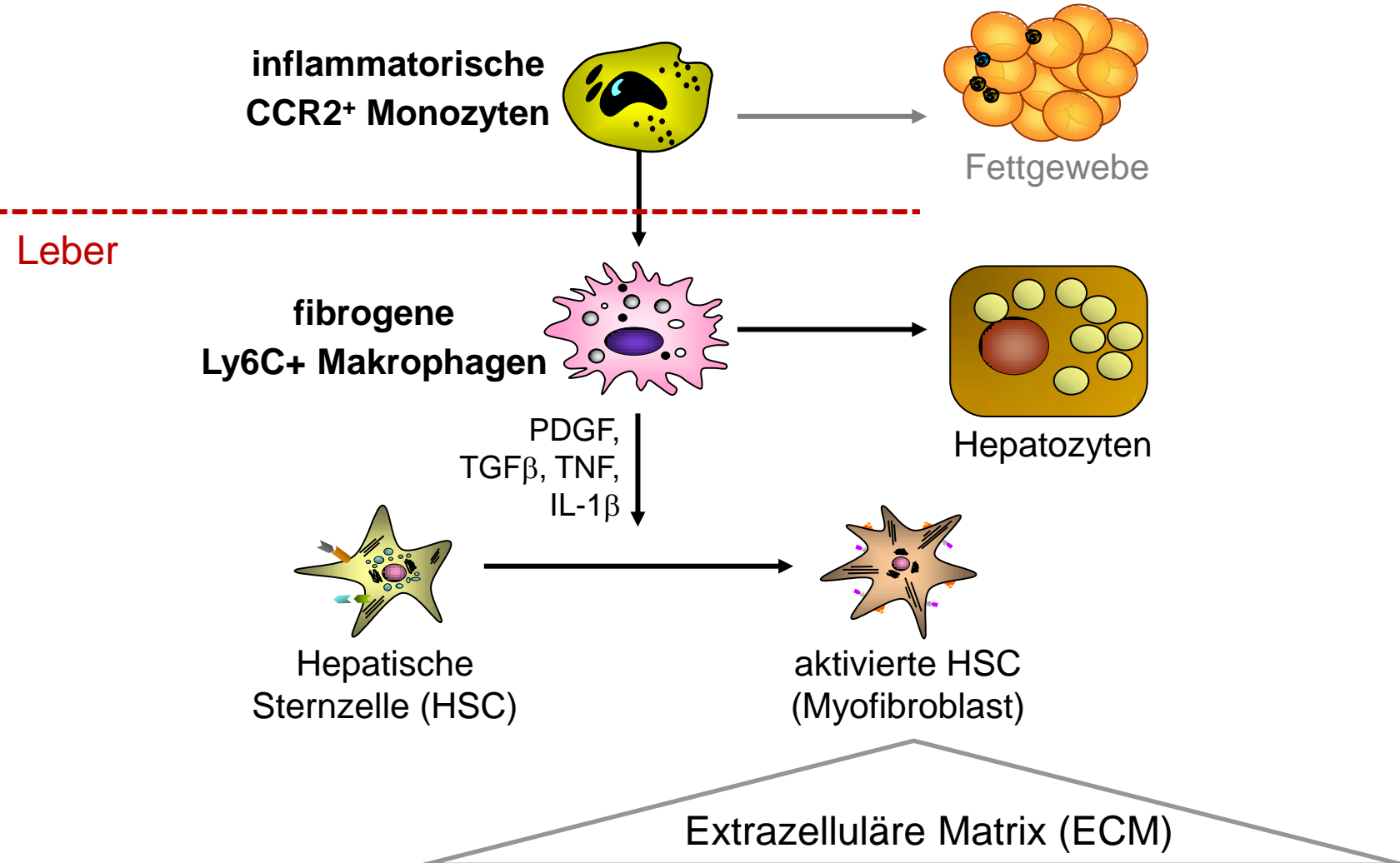
Single cell RNA Sequencing von hepatischen Makrophagen-Populationen in NASH-Modellen



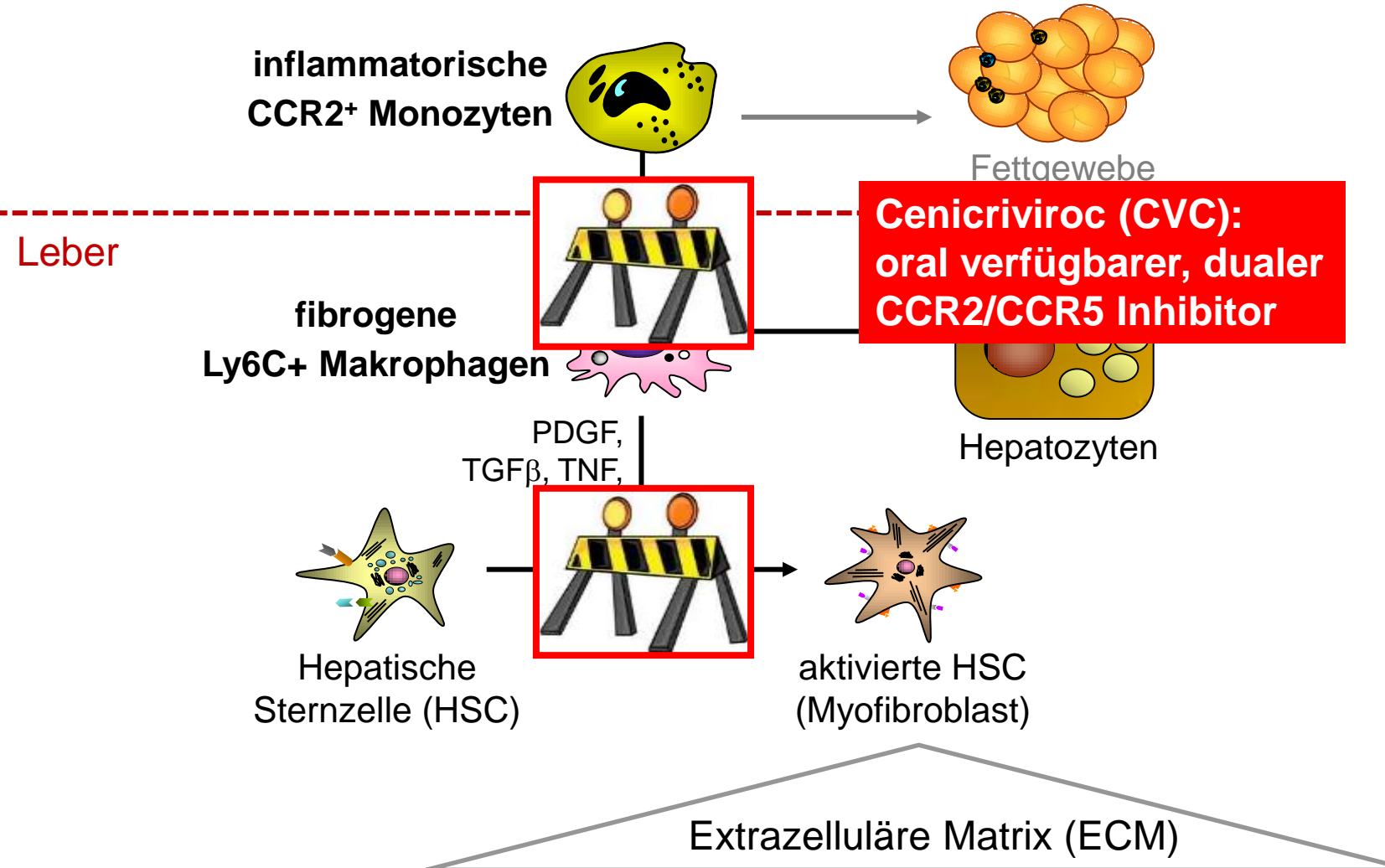
Single cell RNA Sequencing von Knochenmarks-Monozyten-Populationen in NASH-Modellen



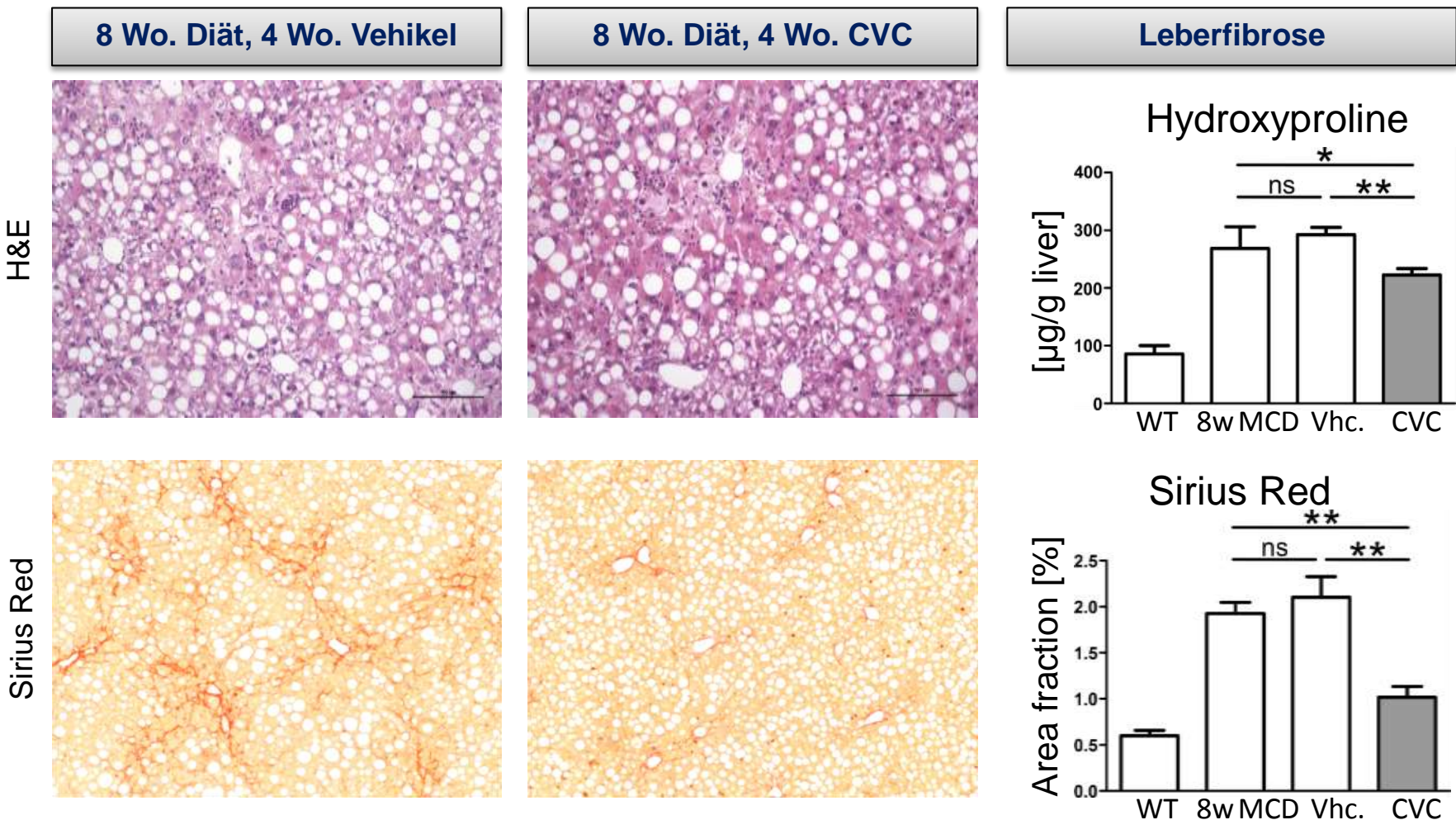
Monozyten / Makrophagen Populationen in Fettleber und Fibrose



Monozyten / Makrophagen Populationen in Fettleber und Fibrose



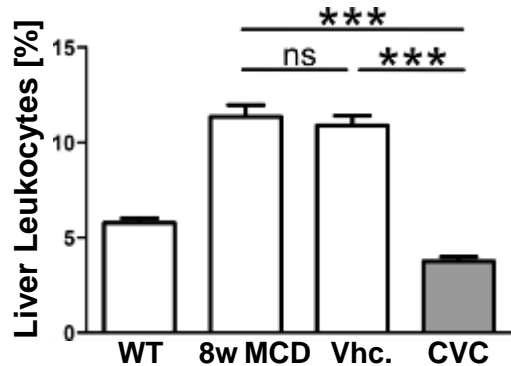
Evaluation des CCR2/CCR5-Inhibitors CVC in experimenteller Fettleber und Fibrose



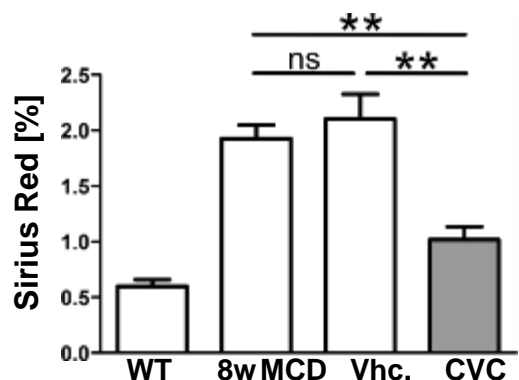
Translation in die Klinik: CCR2/5-Inhibitor Cenicriviroc in Steatohepatitis und Fibrose

Mausmodell NASH (MCD)

Leber-Makrophagen reduziert



Leberfibrose reduziert



Klinische Studie Phase 2b (*laufend*)

patients with NASH + fibrosis (n=289)
enriched for co-morbidities

CVC 150mg
(n=145)

Placebo
(n=144)

liver biopsy after 1 year

CVC 150mg
(n=145)

CVC 150
(n>63)

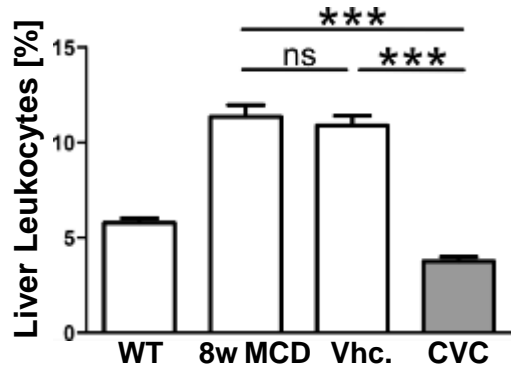
Placebo
(n>63)

liver biopsy after 2 years

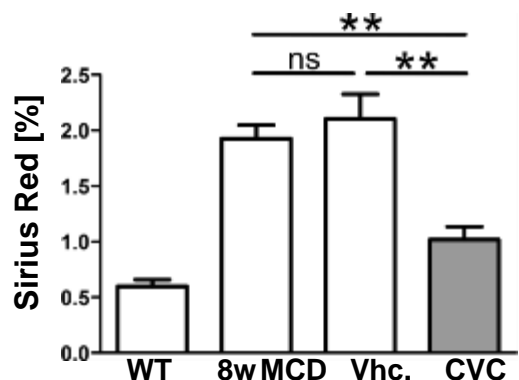
Translation in die Klinik: CCR2/5-Inhibitor Cenicriviroc in Steatohepatitis und Fibrose

Mausmodell NASH (MCD)

Leber-Makrophagen reduziert



Leberfibrose reduziert



Klinische Studie Phase 2b (*laufend*)

patients with NASH + fibrosis (n=289)
enriched for co-morbidities

CVC 150mg
(n=145)

Placebo
(n=144)

liver biopsy after 1 year

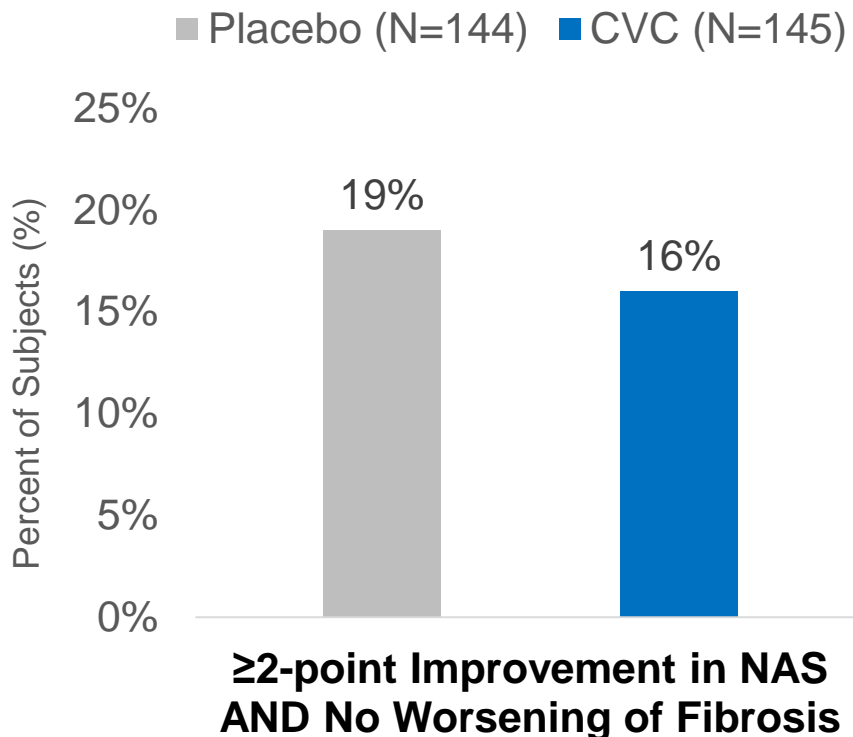
Zwischenergebnis nach 1 Jahr:

- 126 + 126 auswertbare Biopsien
- 33% F1, 29% F2, 38% F3 Fibrose;
- 52% Diabetes, BMI ~34 kg/m²

#LB-1, AASLD 2016

CCR2/5-Inhibitor Cenicriviroc in Patienten mit Steatohepatitis und Fibrose

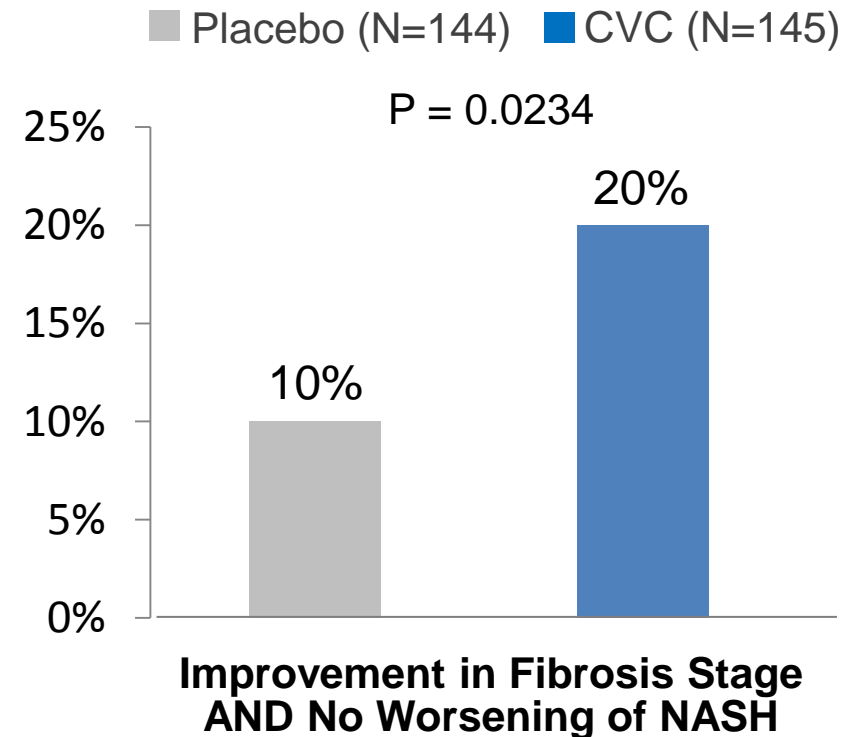
Verbesserung Steatohepatitis-Score



NASH Resolution: 8% vs. 6% (n.s.)

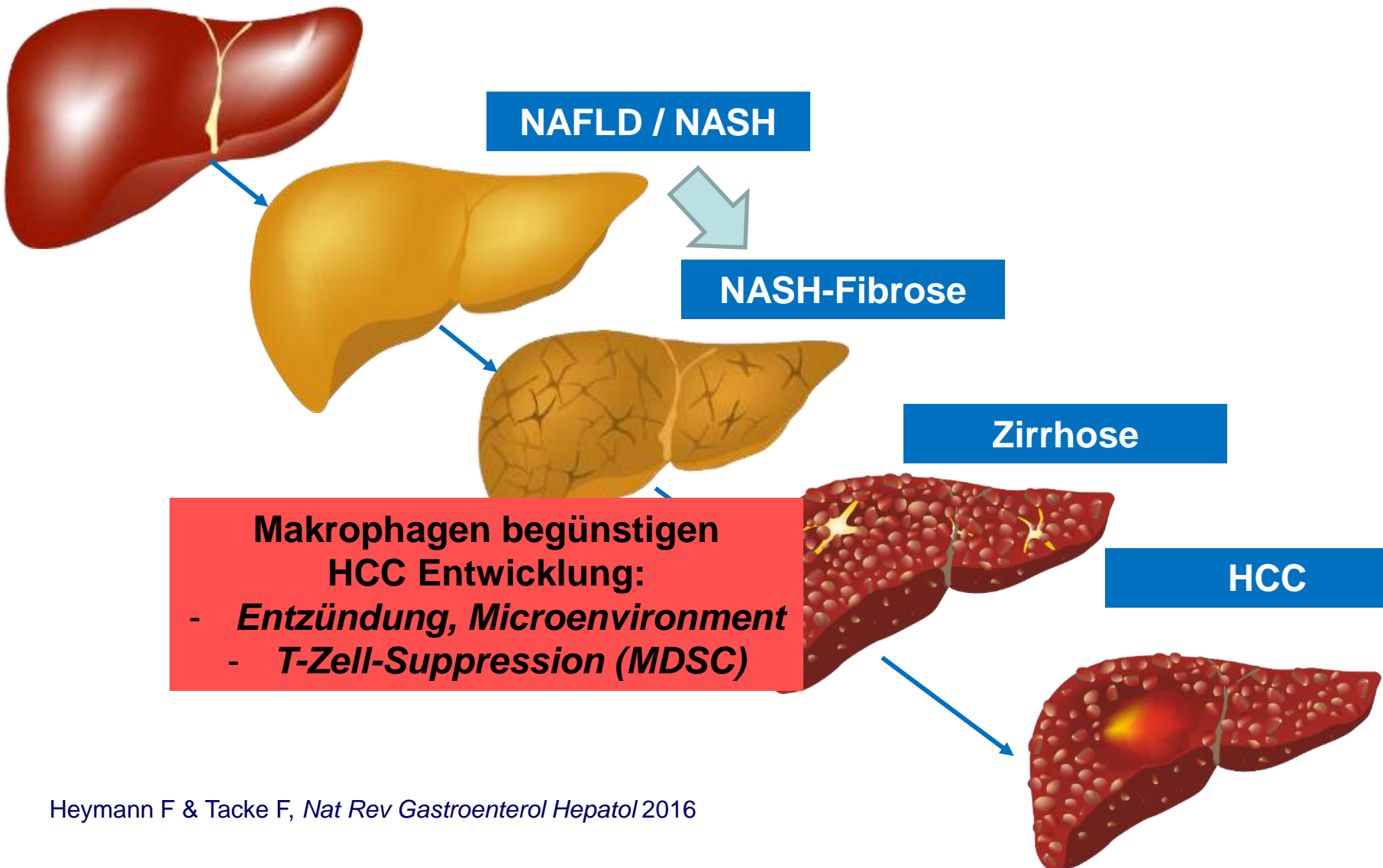
Friedman SL, ... Tacke F, ... et al. *Hepatology* 2018 (*in press*)

Verbesserung Fibrose-Score



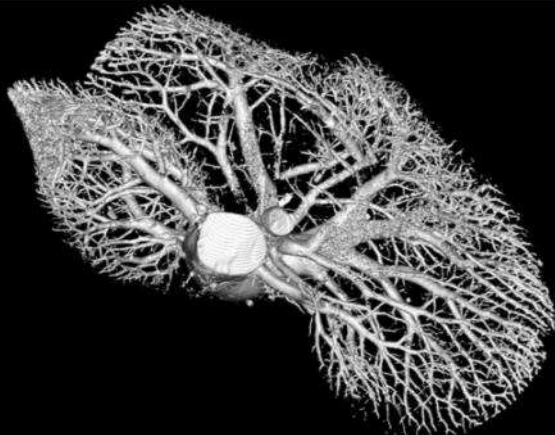
2-Jahres-Daten akzeptiert für
„Plenary Session“ bei der
EASL-Tagung 2018

Tumor-fördernde Funktionen von Makrophagen in der Transition von chronischer Entzündung zu HCC

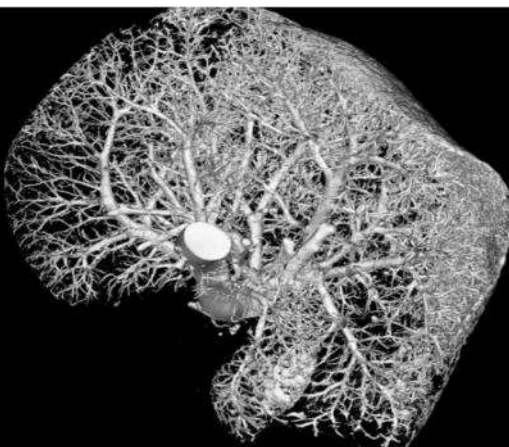


Pharmakologische Hemmung von CCL2 senkt Angiogenese in der Leberfibrose

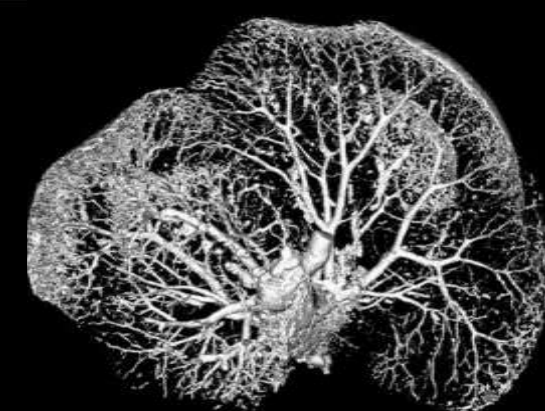
Kontrolle



6 Wochen CCl_4



6 Wochen CCl₄ + mNOX



ex vivo CT scan

in vivo μCT scan

The image consists of four panels. On the far left, there are three grayscale MRI slices: a transversal slice at the top, a sagittal slice in the middle, and a coronal slice at the bottom. To the right of these slices is a 3D anatomical model of a human head and neck. The model is primarily white, representing bone and tissue, but it features a complex network of red lines representing blood vessels, particularly the carotid arteries and their branches.

mNOX: murine Chemokin CCL2 Inhibitor

Pharmakologische Hemmung von CCL2 senkt Angiogenese im Fibrose-HCC Modell

tumor load

fibrosis-liver cancer model (24 wks.)

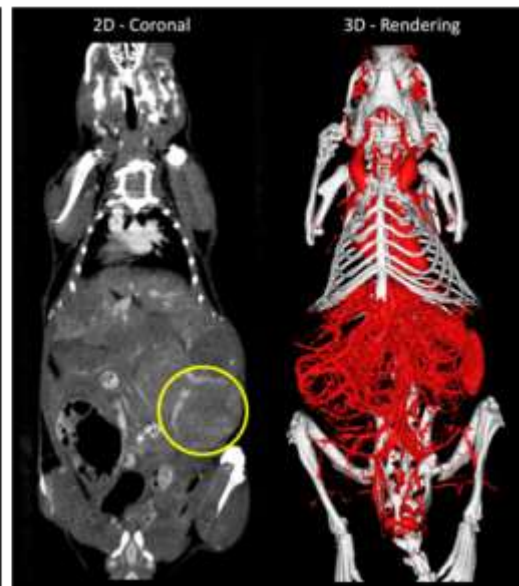
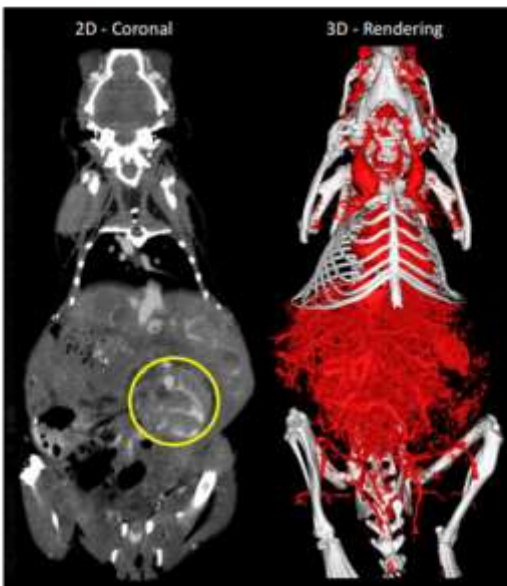
vehicle



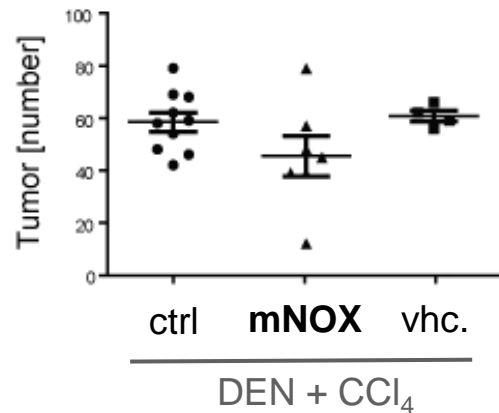
CCL2 inhibition



vascularisation (μ CT)

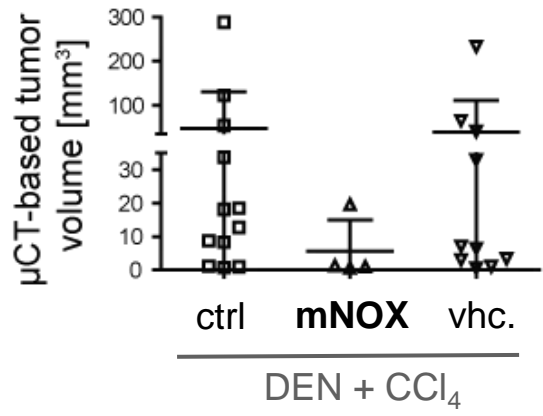


Tumorzahl



DEN + CCl_4

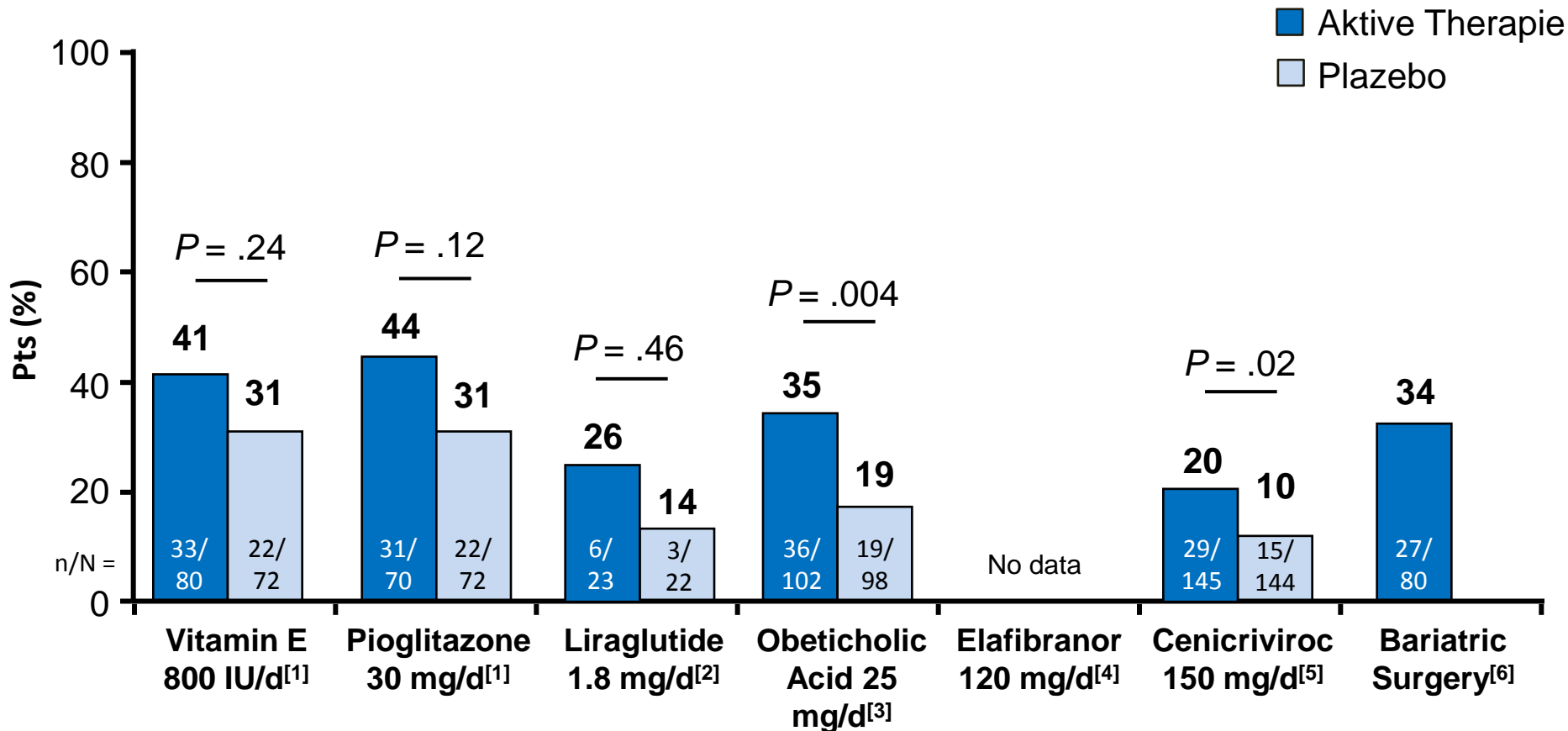
Tumorvolumen



DEN + CCl_4

Ergebnisse von publizierten NASH-Studien: Endpunkt “Verbesserung der Fibrose”

keine Head-to-Head Studien, unterschiedliche Therapiedauer



1. Sanyal AJ, et al. N Engl J Med. 2010;362:1675-1685. 2. Armstrong MJ, et al. Lancet. 2016;387:679-690. 3. Neuschwander-Tetri BA, et al. Lancet. 2015;385:956-965.

4. Ratiu V, et al. Gastroenterology. 2016;150:1147-1159. 5. Sanyal AJ, et al. AASLD 2016. Abstract LB-1. 6. Lassally G, et al. Gastroenterology. 2015;149:379-388.

Fazit für Klinik und Praxis:

Aktuelle und künftige Therapieoptionen bei Fettleber

Aktuelle Therapie: Gewichtsreduktion, Ernährungsumstellung, Diabetestherapie (GLP1-Agonist) und Lifestyle-Veränderungen

Zukünftige Therapie: metabolische (FXR Agonisten / OCA, PPAR α /d Agonisten / Elafibranor, Darm-Leber-Achse) + antifibrotische (Chemokine / CVC, Entzündungsaktivierung ASK1 / Selonsertib) Ansatzpunkte

Monozyten/Makrophagen erfüllen Schlüsselfunktionen in der Progression von Lebererkrankungen von Entzündung zur Fibrose und zum Karzinom – und sind vielversprechender Ansatzpunkt neuer Biomarker sowie neuartiger Therapiekonzepte in Fettleber, Fibrose und Tumorerkrankungen

Überwachung für hepatische (Zirrhose, HCC) und extrahepatische (kardiovaskulär, Malignome) Komplikationen ist obligat

Danksagung

Tacke Labor

Dr. Jana Mossanen
Dr. Felix Heymann
Dr. Matthias Bartneck
Dr. Anke Pfeiffer
Dr. Alexander Wehr
Patricia Niemietz
Klaudia Warzecha
Julia Peusquens
Oliver Krenkel
Aline Roggenkamp
Tobias Püngel
Peter Schrammen
Marlene Kohlhepp
Julia Onstein

Q3 Zellisolation

Sibille Sauer-Lehnens
Carmen Tag
Prof. Ralf Weiskirchen



**UNIKLINIK
RWTH AACHEN**

AG Intensivmedizin

PD Dr. Alexander Koch
Dr. Jan Brünsing
Dr. Lukas Bündgens
Dr. Ulf Herbers

Prof. Dr. Christian Trautwein
Prof. Dr. Tom Lüdde
Prof. Dr. Thomas Longerich
Prof. Dr. Ulf Neumann

Drittmittel-Geber



- **Ta434/3-1 – HCC**
- **Ta434/5-1 – ALF**
- **SFB/TRR57 – Fibrose**



IZKF Interdisziplinäres
Zentrum für
Klinische Forschung